umkristallisiert: Smp. 206–207°. Tetranitromethan-Probe: gelb. $[\alpha]_D = +98^\circ$ (c=1,13). UV.-Spektrum: Endabsorption bei 210 m μ . IR.-Spektrum (CHCl₃): $\nu_{max} = 1695$ cm⁻¹.

C₅₄H₈₆O Ber. C 86,33 H 11,54% Gef. C 86,35 H 11,55%

Ozonisation von Photoprodukt 2. 2,0 g Substanz wurden in je 30 ml Essigester und Eisessig suspendiert und bei -15° 30 Min. ozonisiert. Nach Zugabe von 10 ml Wasser und 1 ml 30-proz. Wasserstoffperoxid-Lösung wurde das Gemisch 18 Std. bei Zimmertemperatur stehengelassen. Bei der üblichen Aufarbeitung erhielt man nebst 577 mg neutralen Anteilen 1,757 g amorphe Säuren, die mit CH₂N₂ verestert wurden. Chromatographie von 300 mg des Estergemisches an neutralem Al₂O₃ (Akt. II) lieferte mit Benzol-Äther-(9:1)-Gemisch 117 mg Dimethylester 8, der nach dreimaliger Kristallisation aus Methylenchlorid-Methanol bei 196–197° schmolz. Tollens-Probe: positiv. $[\alpha]_D = +42^\circ$ (c=0.74). UV.-Spektrum: keine Absorption. IR.-Spektrum (Nujol): $v_{max} = 2740$, 1735, 1710, 1695 cm⁻¹. NMR.-Spektrum: $\delta = 9.82/s$ (1) – CHO. C₅₈H₈₈O₇ Ber. C 76.76 H 10,30 2 OCH₃ 7,21% Gef. C 76,77 H 10,47 2 OCH₃ 7,32%

Die Analysen wurden im mikroanalytischen Laboratorium der ETH (Leitung W. Manser) ausgeführt.

SUMMARY

 $\Delta^{4.6}$ -Cholestadien-3-one (1) yields on irradiation a dimeric product $C_{54}H_{84}O_2$ for which structure 2a is proposed.

Organisch-chemisches Laboratorium der Eidg. Technischen Hochschule, Zürich

271. Photochemische Reaktionen

16. Mitteilung¹)

Photochemische Umwandlungen von O-Acetyl-1-dehydrotestosteron I²)

von H. Dutler^{3a}), C. Ganter^{3b}), H. Ryf^{3c}), E. C. Utzinger^{3d}), K. Weinberg^{3e}), K. Schaffner, D. Arigoni und O. Jeger

(25. IX. 62)

1. Einleitung. – In einer vorläufigen Mitteilung haben Dutler, Bosshard & Jeger⁴) darauf hingewiesen, dass die Bestrahlung des gekreuzt konjugierten Dienons O-Acetyl-1-dehydro-testosteron (1)⁵) in Dioxanlösung bei Zimmertemperatur mit dem UV.-Licht einer Quecksilber-Hochdrucklampe zu einem Gemisch von Verbindungen führt, welches in 4 ketonische, als A₁-A₄ bezeichnete, und in 4 phenolische, als B₁-B₄ bezeichnete Isomere getrennt werden konnte. Die Zerlegung des Gemisches in die Komponenten erfolgte vorteilhaft durch Chromatographie an Aluminiumoxid bzw. Silicagel und darauffolgende fraktionierte Kristallisation. Schon damals war

^{1) 15.} Mitteilung: Helv. 45, 2342 (1962).

²) Die Ergebnisse dieser Arbeit sind grösstenteils im Sommer 1959 anlässlich eines Kolloquiums am Imperial College of Science and Technology, London, und eines Vortrages in der Basler Chemischen Gesellschaft erstmals bekanntgegeben worden; vgl. auch E. Utzinger, H. Dutler, K. Weinberg, D. Arigoni & O. Jeger, Chimia 12, 332 (1958).

³⁾ a) Vgl. Diss. ETH, Zürich 1957. - b) Vgl. Diss. ETH, Zürich, in Vorbereitung. - c) Vgl. Diss. ETH, Zürich 1961. - d) Vgl. Diss. ETH, Zürich 1959. - e) Vgl. Diss. ETH, Zürich 1960.

hervorgehoben worden, dass bei kurzer Bestrahlung von 1 vorwiegend ketonische Isomere, bei längerer Bestrahlung hingegen hauptsächlich Phenole entstehen. Zudem war es gelungen, das Produkt B_1 als 17-O-Acetyl-1-methyl-östradiol (2) 6 und das Produkt B_2 als 1-Hydroxy-17 β -acetoxy-4-methyl- $\Delta^{1;\,3;\,5,\,10}$ -östratrien (3) 6 ui dentifizieren. Aus Tabelle 1 sind die in einem typischen Versuch erreichten Ausbeuten an kristallinen Verbindungen ersichtlich.

In der vorliegenden Arbeit berichten wir zunächst über die Strukturermittlung der sechs bisher noch unbekannten Bestrahlungsprodukte $(A_1-A_4; B_3 \text{ und } B_4)^7)$. Anschliessend werden gegenseitige photochemische Beziehungen dieser Isomeren beschrieben und die für deren Bildung möglichen Mechanismen diskutiert.

Tabelle 1. Ausbeuten an reinen Bestrahlungsprodukten aus O-Acetyl-1-dehydro-testosteron (1) (Lichtquelle: Quecksilber-Hochdrucklampe; Lösungsmittel: Dioxan)

Produkte	Bestrahlu	Bestrahlungsdauer	
Produkte	11/2 Std	9 Std	
Ausgangsmaterial (1)	12%	_	
Keton A ₁ (4)		 	
Keton A ₂ (18)	1%		
Keton A ₃ (23)	11%	_	
Keton A ₄ (44)	2%	 -	
Phenolgemisch	37%	-	
17-O-Acetyl-1-methyl-östradiol (Phenol B ₁ ; 2)		15%	
1-Hydroxy-17β-acetoxy-4-methyl-Δ1;3;5;10-östratrien (Phenol B ₂ ; 3)	-	4%	
2-Hydroxy-17 β -acetoxy-4-methyl- $\Delta^{1;3;5;10}$ -östratrien (Phenol B ₈ ; 50)	_	2%	
4-Hydroxy-17 β -acetoxy-2-methyl- $\Delta^{1;3;5;10}$ -östratrien (Phenol B ₄ ; 58)	_	8%	

2. Keton A_1 . – Die Verbindung A_1 stellt ein tetracyclisches, gekreuzt konjugiertes Cyclohexadienon dar, wie man aus ihren spektroskopischen Eigenschaften $[\lambda_{max} = 246 \text{ m}\mu, \log \varepsilon = 4,26; \nu_{max} = 1659, 1622, 1606 (Schulter) cm⁻¹ (CHCl₃)] und aus der Überführung in ein gesättigtes Tetrahydroderivat <math>C_{21}H_{32}O_3$ [7; $\nu_{max} = 1705 \text{ cm}^{-1}$ (KBr)] ableiten kann. Wie von einem Cyclohexadienon zu erwarten ist, geht A_1 bei der Behandlung mit konz. Schwefelsäure in Acetanhydrid unter Umlagerung in ein Di-O-acetyl-phenol über. Dieses ist identisch mit dem Di-O-Acetyl-Derivat 51, welches durch Acetylierung des Phenols B_3 (50) erhältlich ist. Ferner lässt sich eine

⁴⁾ H. Dutler, H. Bosshard & O. Jeger, Helv. 40, 494 (1957).

⁵) H. H. Inhoffen, G. Zühlsdorff & Huang-Minlon, Ber. deutsch. chem. Ges. 73, 451 (1940).

⁶⁾ a) C. DJERASSI, G. ROSENKRANZ, J. ROMO, J. PATAKI & ST. KAUFMANN, J. Amer. chem. Soc. 72, 4540 (1950). b) H. H. INHOFFEN & G. ZÜHLSDORFF, Ber. deutsch. chem. Ges. 74, 604 (1941); vgl. dazu R. B. WOODWARD, H. H. INHOFFEN, H. O. LARSON & K. H. MENZEL, Chem. Ber. 86, 594 (1953), sowie A. S. DREIDING & A. VOLTMAN, J. Amer. chem. Soc. 76, 537 (1954).

⁷⁾ Inzwischen konnte noch ein fünftes Keton (A_5) kristallin aus dem Isomerengemisch der UV.-Bestrahlung von 1 isoliert werden (vgl. exper. Teil, Abschnitt A), das bisher noch nicht näher untersucht wurde.

analoge Umlagerung bei der thermischen Behandlung von A_1 bei 200° erzwingen, wobei als einziges Reaktionsprodukt das Phenol B_3 (50) anfällt. Auf Grund der nachgewiesenen Cyclohexadienon-Struktur von A_1 sowie aus der Art und Anzahl der Substituenten am Ring A des Ausgangsmaterials der Bestrahlung (1) ergibt sich für A_1 die Partialformel a.

Einen ersten Hinweis auf die vollständige Struktur 4 von A₁ lieferte dessen NMR.-Spektrum (Fig. 1), aus welchem die Anordnung der Substituenten am gekreuzt konjugierten Dienon-Sechsring ermittelt werden kann.

Es lassen sich darin u.a. die Signale einer olefinisch gebundenen, zum Carbonyl β -ständigen Methylgruppe sowie diejenigen von zwei α -ständigen Vinylprotonen und einem β -ständigen Vinylproton feststellen. Das eine α -ständige Vinylproton $[\delta=6,10]$ erscheint als undeutlich strukturiertes Multiplett, hervorgerufen durch Kernspin-Kopplung mit den Protonen der an derselben Doppelbindung haftenden Methylgruppe [Doublett bei $\delta=1,97;\ J={\rm ca.\ 1\ Hz}]$ und mit dem zweiten α -ständigen Vinylproton $[\delta=6,12;\ J={\rm ca.\ 2\ Hz}]^8)$. Letzteres gibt Anlass zu insgesamt 4 Linien, da es zusätzlich mit dem benachbarten β -ständigen Vinylproton [Doublett bei $\delta=6,80;\ J=10\ {\rm Hz}]$ koppelt.

Die Beständigkeit des gekreuzt konjugierten Sechsring-Dienon-Systems von A_1 setzt die Anwesenheit von zwei Substituenten in γ -Stellung zum Carbonyl voraus⁹), als welche lediglich noch die Kohlenstoffatome 6 und 9 des ursprünglichen Steroidgerüstes in Betracht kommen.

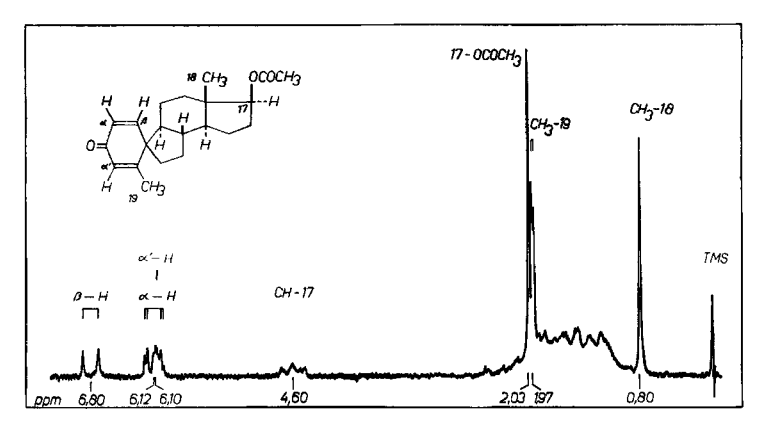


Fig. 1. NMR.-Spektrum des Ketons A_1 (4)

⁸⁾ Die zusätzliche kleine Aufsplitterung der beiden α-ständigen Vinylprotonen des Ketons A₁ (4) entspricht der «long-range» Kernspin-Kopplung, wie sie zwischen den α- und α'- bzw. β- und β'-Protonen zahlreicher gekreuzt konjugierter, in p-Stellung asymmetrisch substituierter Cyclohexadienon-Verbindungen anzutreffen ist (unveröffentlichte Ergebnisse unseres Laboratoriums sowie von Herrn PD Dr. W. von Philipsborn, Universität Zürich, dem wir für diese Privatmitteilung bestens danken).

Stabile Ketoformen von Phenolen treten nur in jenen Fällen auf, in welchen sterische Faktoren die Ausbildung des aromatischen Systems verhindern; vgl. dazu z. B. V. Prelog, K. Wiesner, W. Ingold & O. Häfliger, Helv. 31, 1325 (1948); V. Prelog, P. Barman & M. Zimmermann, ibid. 33, 356 (1950); H. J. Teuber & N. Götz, Chem. Ber. 89, 2654 (1956); W. Eisenhuth & H. Schmid, Helv. 41, 2021 (1958).

Die so abgeleitete Formel 4 für das Keton A_1 konnte durch die folgenden Umwandlungen und Abbaureaktionen bewiesen werden. Bei der Behandlung von A_1 mit Benzaldehyd in methanolischer Kaliumhydroxid-Lösung wurde unter gleichzeitiger Hydrolyse der O-Acetyl-Gruppe an C-17 eine amorphe 17β -Hydroxy-Benzalverbindung [8; $\lambda_{max} = 256$, 334 m μ (log $\varepsilon = 4,12,4,32$)] gebildet, welche ein kristallines Oximderivat (9) sowie nach der Acetylierung ein kristallines 2,4-Dinitrophenylhydrazon lieferte. Ein Vergleich der nach Kuhn-Roth ausgeführten C-Methyl-Bestimmungen zeigte, dass das Oxim 9 nur eine Methylgruppe (C-18) enthält, während das Oxim 6, hergestellt aus dem durch alkalische Hydrolyse von A_1 zugänglichen Hydroxyketon 5, Werte für zwei solche Gruppen ergab. Dieser Befund wurde schliesslich durch die NMR.-Spektren der beiden Oxime bestätigt, indem das beim Oxim 6 sichtbare Doublett der Methylgruppe 19 [$\delta = 1,88$; J = ca. 1 Hz] beim Benzal-oxim 9 fehlt. Durch die Kondensation der Methylgruppe mit Benzaldehyd ist deren β -Haftstelle am gekreuzt konjugierten Carbonylsystem erwiesen.

Als weiterer unabhängiger Beweis der Struktur 4 für das Keton A_1 kann schliesslich die in Abschnitt 6 besprochene Strukturaufklärung des Phenols B_3 (50) angesehen werden, da letzteres – wie bereits erwähnt – mit A_1 experimentell verknüpft werden konnte.

Zur Vervollständigung dieser Strukturformel verbleibt somit nur noch die Aufklärung der Konfiguration des quaternären Kohlenstoffatoms des spirocyclischen Systems sowie derjenigen von C-9. Während man für die erstere vorläufig noch

keine durch Versuche gestützte Zuteilung vornehmen kann, lassen sich für C-9 des Ketons A₁ wie auch der restlichen Photoprodukte (A₂-A₄, B₃ und B₄) plausible Argumente zugunsten der gleichen Konfiguration wie beim Ausgangsmaterial der Bestrahlung, O-Acetyl-1-dehydro-testosteron (1), anführen (vgl. dazu die Diskussion im Abschnitt 8).

Die Resultate des oxydativen Abbaus von A_1 mit Kaliumpermanganat in Aceton-Lösung sind im Einklang mit der oben abgeleiteten Struktur 4 von Keton A_1 . Dieser Abbau führte zu amorphen sauren Produkten, die durch Erhitzen in Xylol-Dioxan-Gemisch decarboxyliert wurden. Nach anschliessender alkalischer Hydrolyse konnte ein öliges tricyclisches Hydroxyketon 10 isoliert werden, das im IR.-Spektrum Banden bei 3660 und 1705 cm⁻¹ (CHCl₃) aufwies und ein kristallines Oxim $C_{15}H_{25}O_2N$ bildete. Basisch katalysierte Kondensation von 10 mit Benzaldehyd gab eine amorphe Benzalverbindung [11; $\lambda_{max} = 290 \text{ m}\mu$, log $\varepsilon = 4,32$], die in Form des kristallinen Oxims $C_{22}H_{29}O_2N$ analysiert wurde. Der Abbau des öligen Hydroxyketons 10 mit Natriumhypojodit-Lösung lieferte schliesslich nach Veresterung der entstandenen Säure mit Diazomethan und darauffolgender Oxydation mit Chrom(VI)-oxid in Eisessig-Lösung einen öligen Ketoester (12), aus welchem ein kristallines 2,4-Dinitrophenylhydrazon $C_{21}H_{26}O_6N_4$ hergestellt werden konnte.

In weiteren Versuchen wurde das Keton A_1 (4) mit Lithiumaluminiumhydrid reduziert. Bei der Behandlung des intermediär gebildeten, in reiner Form nicht gefassten Allylalkohols 13 mit Acetanhydrid in Pyridin bei Zimmertemperatur wurde unter Wasserabspaltung und Aromatisierung des Ringes A ein Benzolderivat $C_{21}H_{28}O_2$ [$\lambda_{max}=262$ m μ , $\log \varepsilon=3,25$] gebildet. Das gleiche Präparat entstand auch in einer analogen Reaktionsfolge aus O-Acetyl-1-dehydro-testosteron (1) ¹⁰), und die ihm zugeteilte Struktur 14 wurde gesichert durch seine Umwandlung über die Zwischenstufen des Alkohols 15¹¹) und des Ketons 16¹¹) in das bekannte 1-Äthyl-2, 8-dimethyl-phenanthren (17) ¹²).

3. Keton A_2 . – Das in nur 1-proz. Ausbeute isolierbare Keton A_2 besitzt die charakteristischen spektroskopischen Eigenschaften eines linear konjugierten, homoanularen Cyclohexadienons $[\lambda_{max} = 310 \text{ m}\mu, \log \varepsilon = 3,65; \nu_{max} = 1657, 1628, 1571 \text{ cm}^{-1} \text{ (KBr)}]$. Der Verbindung A_2 muss daher, unter Berücksichtigung ihrer Bildung aus O-Acetyl-1-dehydro-testosteron (1), die allgemeine Partialformel **b** zugeschrieben werden.

Die Hydrierung von A_2 in Gegenwart von Palladiumkohle-Katalysator lieferte ein gesättigtes Tetrahydroderivat (19), welches im IR.-Spektrum Banden bei 1736, 1700 und 1250 cm⁻¹ (KBr) aufweist. Die Behandlung von A_2 mit Schwefelsäure in Acetanhydrid führte zu einem O-Acetylphenol $C_{23}H_{30}O_4$, das mit dem Acetylderivat 59 des weiter unten beschriebenen Phenols B_4 (58) identisch ist. In Übereinstimmung mit der spektroskopisch abgeleiteten *s-cis*-Anordnung der zwei Doppelbindungen bildete A_2 mit Maleinsäureanhydrid ein Addukt $C_{25}H_{30}O_6$ [20; $\nu_{max} = 1870$, 1785 cm⁻¹ (CHCl₃)].

¹⁰⁾ Bezüglich der Dienol-Benzol-Umlagerung vgl. H. PLIENINGER & G. KEILICH, Angew. Chem. 68, 618 (1956), und Chem. Ber. 91, 1891 (1958). Der Verlauf dieser Umlagerung wurde inzwischen auch von anderen Arbeitsgruppen am Beispiel von 3-Oxo-Δ¹;⁴-Steroiden untersucht: M. J. Gentles, J. B. Moss, H. L. Herzog & E. B. Hershberg, J. Amer. chem. Soc. 80, 3702 (1958); H. Dannenberg, Z. Krebsforsch. 62, 217 (1957); H. Dannenberg & C. H. Doering, Z. physiol. Chem. 311, 84 (1958); H. Dannenberg, C. H. Doering & D. Dannenberg-von Dresler, ibid. 317, 174 (1959); sowie Ch. Meystre, Forschungslaboratorien der CIBA Aktiengesellschaft, Basel, Pharmazeutische Abteilung (unveröffentlichte Privatmitteilung).

¹¹) M. J. GENTLES & al., loc. cit. ¹⁰).

¹²⁾ A. S. Dreiding & al., loc. cit. 6b); A. S. Dreiding & A. T. Tomasewski, J. Amer. chem. Soc. 76, 540 (1954).

Ein Einblick in die Substitution des Cyclohexadienon-Systems von A₂ konnte durch die Analyse seines NMR.-Spektrums und desjenigen des Maleinsäureanhydrid Adduktes **20** (Fig. 2 und 3) gewonnen werden.

Im NMR.-Spektrum von A_2 erkennt man u. a. die Signale einer olefinisch gebundenen Methylgruppe sowie von drei Vinylprotonen. Die Protonen der disubstituierten Doppelbindung geben Anlass zu je einem Doublett $[\delta=6.07\ (\gamma\text{-Proton}),\,6.37\ (\delta\text{-Proton});\,J=10\ \text{Hz}]$. Die Signale des bei höherer Feldstärke auftretenden Doubletts sind noch um einen Betrag von ca. 1,5 Hz in je zwei Linien aufgespalten, was auf zusätzliche Kopplung mit dem vier Bindungen entfernten, dritten Vinylproton ($\alpha\text{-Proton}$) an der trisubstituierten Doppelbindung zurückgeführt werden kann. Dieses koppelt seinerseits ebenfalls mit der benachbarten Methylgruppe [Doublett bei $\delta=2.06$; J=ca. 1,5 Hz] und erscheint daher als breites, nicht strukturiertes Signal bei $\delta=5.90$. Aus dem NMR.-Spektrum des Maleinsäureanhydrid-Adduktes von A_2 (20), in welchem die Signale eines Vinylprotons [undeutlich strukturiertes Multiplett bei $\delta=\text{ca. 6,2}$] sowie einer an der Doppelbindung haftenden Methylgruppe [Doublett bei $\delta=1.82$; J=1.6 Hz] auftreten, geht das Vorliegen einer trisubstituierten Doppelbindung in 20 hervor 18).

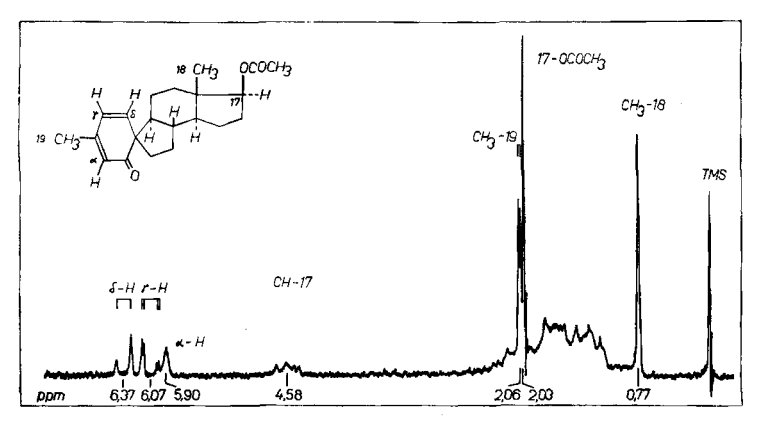


Fig. 2. NMR.-Spektrum von Keton A₂ (18)

Aus den besprochenen NMR.-Daten von A_2 und dessen Derivat **20** folgt, dass die beiden von der homoanularen Dienonstruktur **b** geforderten Substituenten in ε -Stel-

¹³⁾ Die eingehende Untersuchung des IR.-Spektrums des Adduktes 20 liess eine CH-Valenzschwingung bei 3048 cm⁻¹ (in CCl₄) und eine «out of plane»-Deformationsschwingung bei 834 cm⁻¹ (in KBr) erkennen, die mit der Anwesenheit der Gruppierung C=CH- vereinbar ist. Wir danken Herrn Dr. K. Frei für die Aufnahme und Diskussion dieses Spektrums.

lung 9) zum Carbonyl Ringglieder sein müssen und dass die Methylgruppe sich nur in β - oder γ -Stellung zu diesem befinden kann. Auf Grund der betreffenden chemischen Verschiebungen im Spektrum von A_2 dürfte dabei die β -Stellung der Methylgruppe zu bevorzugen sein. Ein sicherer Entscheid zugunsten dieser Variante lässt sich anhand der Beobachtung treffen, dass die basisch katalysierte Behandlung von A_2 mit Benzaldehyd zu einer öligen Benzalverbindung [$\lambda_{max} = 242$, 331 m μ ; log $\varepsilon = 4,29$, 3,98] führte. Erwartungsgemäss fehlt im NMR.-Spektrum des O-Acetylderivates dieser Verbindung (21) das Signal der olefinisch gebundenen Methylgruppe. Auf das Keton A_2 muss daher die Strukturformel 18 zutreffen. Auch hier bleibt noch die Konfiguration des quaternären Kohlenstoffatoms des spirocyclischen Systems unbestimmt.

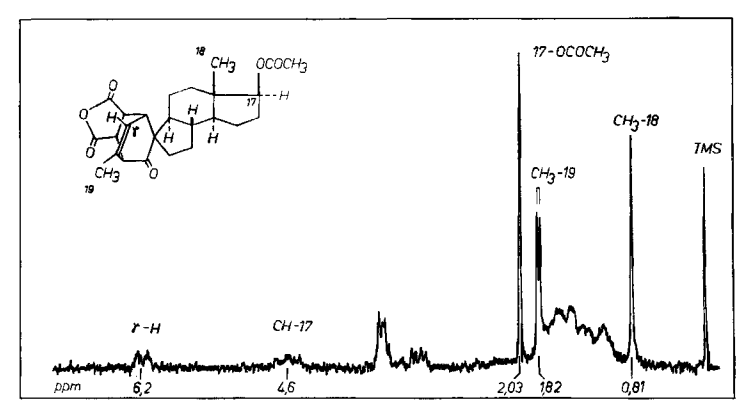


Fig. 3. NMR.-Spektrum des Maleinsäureanhydrid-Adduktes von A₂ (20)

4. Keton A_3 . – Das Keton A_3 stellt nebst dem Keton A_1 das Hauptprodukt der Bestrahlung von O-Acetyl-1-dehydro-testosteron (1) dar (vgl. Tab. 1). Die Untersuchung dieser Verbindung wurde dadurch erleichtert, dass die Ausbeute an A_3 wesentlich verbessert werden kann (bis 62% d. Th.), wenn die Bestrahlung mit monochromatischem Licht der Wellenlänge 254 m μ ausgeführt wird. Bereits die spektroskopischen Eigenschaften von A_3 [$\lambda_{max} = 238$ m μ , log $\varepsilon = 3,74$; $\nu_{max} = 1720$, 1686, 1575, 1260 cm⁻¹ (CHCl₃)] und von dessen Dihydroderivat [$\lambda_{max} = 212$ m μ , log $\varepsilon = 3,78$; $\nu_{max} = 1720$, 1707, 1260 cm⁻¹ (CHCl₃)], erhalten durch Hydrierung in Gegenwart von Palladiumkohle¹⁴), weisen darauf hin, dass es sich bei diesem Isomeren mit grosser Wahrscheinlichkeit um ein Produkt der Partialformel c handelt¹⁵). Diese Annahme wird auch durch das NMR.-Spektrum von A_3 (Fig. 4) gestützt, welches sich von demjenigen des Produktes 22, hergestellt durch UV.-Bestrahlung des 4-Methyl-Homologen von 1-Dehydro-testosteron¹⁶), im wesentlichen nur durch das Fehlen des Signals einer quaternären Methylgruppe unterscheidet.

¹⁴⁾ Dihydro-keton A₃ (25) ist auch zugänglich durch UV.-Bestrahlung von O-Acetyl-testosteron (unveröffentlichte Versuche aus unserem Laboratorium). Vgl. dazu auch W. W. KWIE, B. A. SHOULDERS & P. D. GARDNER, J. Amer. chem. Soc. 84, 2268 (1962).

¹⁵) Vgl. dazu die spektroskopischen Daten des Lumisantonins (41) und Dihydrolumisantonins ¹⁸) ¹⁹) sowie der Verbindungen 22 und 24 ¹⁶).

¹⁶⁾ K. Weinberg, E. C. Utzinger, D. Arigoni & O. Jeger, Helv. 43, 236 (1960).

Im besonderen lassen sich die Kernspin-Kopplungskonstanten der Vinylprotonen [je zwei Doubletts bei $\delta=5,82$ (α -Proton) und 7,20 (β -Proton); $J_{\alpha,\beta}=5,5$ Hz] gut mit einer Cyclopentenon-Teilstruktur des Typus ${\bf c}$ vereinbaren. Die zusätzliche kleine Aufspaltung dieser Signale

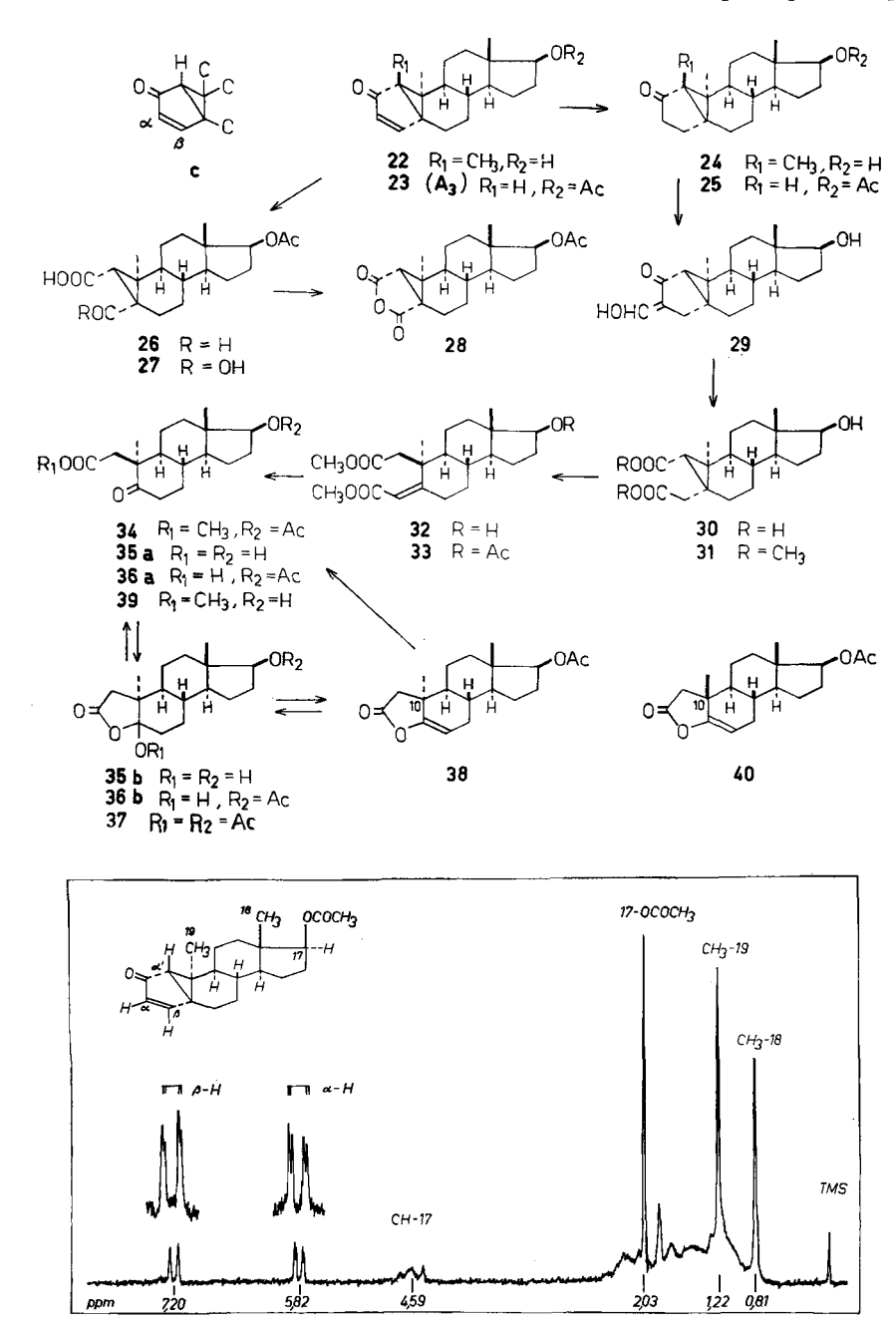


Fig. 4. NMR.-Spektrum von Keton A₃ (23)

um 1 bzw. 0,75 Hz dürfte auf eine Kernspin-Kopplung des Cyclopropyl-Protons mit dem α - und dem β -Vinylproton zurückzuführen sein 17).

Die Analogie zwischen den beiden homologen Bestrahlungsprodukten A₃ und 22 dürfte sich auch auf die stereochemischen Verhältnisse in der unmittelbaren Umgebung der Ketogruppen erstrecken, wie dies aus der Ähnlichkeit der Rotationsdispersionskurven des Dihydroderivates von A₃ mit demjenigen des Dihydrolumisantonins¹⁸) ¹⁹) und des Dihydroderivates 24¹⁶) der Verbindung 22 hervorgeht (vgl. Fig. 5) ²⁰).

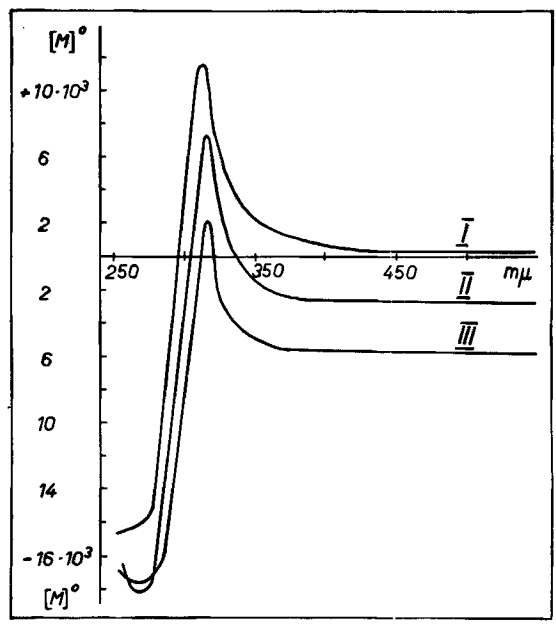


Fig. 5. Rotationsdispersionshurven²¹) $I = Dihydro-keton-A_3 (25)$

II = Verbindung 24 [Kurve um 3000° nach unten verschoben]²²)
 III = Dihydrolumisantonin [Kurve um 6000° nach unten verschoben]²²)

¹⁷⁾ Diese Kernspin-Kopplung erinnert an das ähnliche Verhalten der Protonen an C-2 und C-4 von 3-Oxo-4,5-oxido-△¹-Steroiden [C. Lehmann, K. Schaffner & O. Jeger, Helv. 45, 1031 (1962); E. M. Burgess, J. org. Chemistry 27, 1433 (1962)]. Vgl. auch G. Büchi, F. Greuter & T. Tokorovama, Tetrahedron Letters 18, 827 (1962).

¹⁸) D. H. R. Barton, P. de Mayo & M. Shafiq, Proc. chem. Soc. 1957, 205, sowie J. chem. Soc. 1958, 140; D. Arigoni, H. Bosshard, H. Bruderer, G. Büchi, O. Jeger & L. J. Krebaum, Helv. 40, 1732 (1957).

¹⁹⁾ W. Cocker, K. Crowley, J. T. Edward, T. B. H. McMurry & E. R. Stuart, J. chem. Soc. 1957, 3416.

²⁰) Die Konfiguration von 22 wurde auf Grund reaktionsmechanischer Betrachtungen bevorzugt ¹⁶). Die sich aus der Ähnlichkeit der Rotationsdispersionskurven von 24 und Dihydrolumisantonin ergebende Konfiguration ¹⁶) des Lumisantonins (41) ist inzwischen von D. H. R. BARTON & P. T. GILHAM, Proc. chem. Soc. 1959, 391, sowie J. chem. Soc. 1960, 4596, durch unabhängige Experimente erhärtet worden.

²¹) Die Aufnahme der Rotationsdispersionskurven verdanken wir Herrn Dr. Th. Bürer, physikalisch-chemisches Laboratorium der ETH.

²²) Diese Kurven wurden der Arbeit von K. Weinberg et al. ¹⁶) entnommen.

Auf Grund der besprochenen Daten wurde als Arbeitshypothese für das Isomere A_3 und dessen Dihydroderivat die in den Formeln 23 und 25 dargestellte Konstitution und Stereochemie angenommen. Zugunsten dieser Umbellulon-ähnlichen Struktur 23 für A_3 sprechen zunächst die folgenden experimentellen Befunde. Ozonisation von A_3 ergab unter Verlust eines Kohlenstoffatoms eine Aldehydosäure $C_{20}H_{28}O_5$ [26; $\nu_{max}=3320,\ 2700$ (schwach), 1755–1770 (Schulter), 1735, 1242 cm⁻¹ (Nujol)]²³). Die Nachoxydation von 26 mit Natriumdichromat in Eisessig lieferte eine kristalline Dicarbonsäure $C_{20}H_{28}O_6$ (27), die leicht unter Wasserabspaltung in ein fünfgliedriges Anhydrid [28; $\nu_{max}=1850,\ 1775\ {\rm cm^{-1}}$ (KBr)] überging. In Übereinstimmung mit der Formulierung der Dicarbonsäure als eine substituierte cis-Caronsäure (27) wurde bei der Titration lediglich ein Äquivalent Base verbraucht ²⁴). Der dabei gemessene pK $_{MCS}^*$ -Wert beträgt 4,16.

Der experimentelle Beweis für die Struktur 23 des Ketons A₃ wurde unter Vermeidung säurekatalysierter und pyrolytischer Reaktionen, die gleichzeitig Umlagerungen des Gerüstes hervorrufen könnten, wie folgt erbracht: Ausgehend vom gesättigten Dihydroderivat 25 liess sich mittels Äthylformiat und Natriumhydrid in absolutem Benzol eine Hydroxymethylen-Verbindung [29; $\lambda_{max} = 306$ (Schulter), 273 m μ ; log $\varepsilon = 3,64,4,16$] bereiten, die mit alkalischer Wasserstoffperoxid-Lösung zur Hydroxy-dicarbonsäure $C_{19}H_{28}O_5$ [30; $v_{max} = 3350$, 1390, 1712, 1680 cm⁻¹ (CHCl₃)] gespalten werden konnte. Der entsprechende ölige Dimethylester 31 ging beim Behandeln mit Natriumäthylat in absolutem Methanol eine für 1,5-Dicarbonyl-Verbindungen charakteristische Retro-Michael-Reaktion ein unter Öffnung des Cyclopropan-Ringes 25). Es resultierte ein α, β -ungesättigter Hydroxy-dicarbonsäuredimethylester [32; $\lambda_{max} = 224$ m μ , log $\varepsilon = 4,14$], in dessen NMR.-Spektrum das Singlett eines Vinylprotons bei $\delta = 5,69$ auftritt. Acetylierung von 32 zum O-Acetylderivat 33 und Ozonolyse desselben führte erwartungsgemäss unter Verlust von drei Kohlenstoffatomen zu einem Acetoxy-ketosäure-methylester C₂₀H₃₀O₅ (34). Durch Hydrolyse dieser Verbindung mit methanolischer Kaliumhydroxid-Lösung erhielt man eine Verbindung $C_{17}H_{26}O_4$ [35; $\nu_{max} = 3440$, 3220, 1746, 1702 (Schulter) cm⁻¹ (Nujol); pK*_{MCS} = 7,22]²⁶). Bei der Behandlung mit siedendem Acetanhydrid und Natriumacetat lieferte diese nebst einem O,O'-Diacetylderivat $C_{21}H_{30}O_6$ [37; $\nu_{max} =$

²³⁾ Auf Grund des Titrationswertes [pK*_{MCS} = 7,65] und der IR.-Daten ist darauf zu schliessen, dass die Aldehydosäure 26 im Gegensatz zu ihrem aus 22 erhaltenen Methylhomologen ¹⁶) zu einem grossen Teil in der offenen Form vorliegt.

²⁴) Vgl. z. B. R. C. Cocker & M. E. Trevett, J. chem. Soc. 1956, 3864.

²⁵) Für eine ähnliche Spaltung eines Dreirings vgl. O. Wallach, Liebigs Ann. Chem. 388, 49 (1912).

²⁶⁾ Die IR.- und pK^{*}_{MCS}-Daten der Verbindung 35 und deren 17-O-Acetylderivats 36 [vgl. e; ν_{max} = 3600, 1765, 1723, 1705 (leichte Schulter), 1260 cm⁻¹ (CHCl₃); pK^{*}_{MCS} = 7,05] sprechen dafür, dass beide Verbindungen ein Gemisch der offenen Form (35a bzw. 36a; vgl. e) und der tautomeren γ-Lactolform (35b bzw. 36b: vgl. g und f) bilden. Die mit 36 (vgl. e) an C-10 diastereomere Acetoxy-ketosäure h, die durch Abbau von Testosteron zugänglich ist (vgl. exper. Teil, Abschnitt I), liegt in Lösung auf Grund der physikalischen Daten [ν_{max} = 3600, 1777, 1725, 1260 cm⁻¹ (CHCl₃); pK *^{*}_{MCS} = 8,10] hauptsächlich in der γ-Lactolform i vor.

Eine einfache Analyse zeigt, dass im Falle der Ketosäure e die konstellativen Faktoren einen Ringschluss noch mehr als bei der diastereomeren Verbindung h begünstigen sollten. Das Ausbleiben einer Lactolbildung scheint daher die Folge eines mit dem Ringschluss verknüpften Spannungsaufbaus darzustellen. Dies würde sicher zutreffen für die Bildung des trans-syn-trans verknüpften Lactols f, worin der Ring B in die Wannenkonstellation gezwun-

1792, 1770, 1728, 1260, 1198, 1169 cm⁻¹] ein O-Acetyl-enol- γ -lacton $C_{19}H_{26}O_4$ [38; $\nu_{max} = 1802$, 1724, 1699, 1258 cm⁻¹ (CHCl₃)]. Unter der Einwirkung von Natriummethylat in alkoholischer Lösung liess sich aus letzterem der ölige Hydroxyketosäure-methylester 39 gewinnen, dessen Struktur sowohl durch Acetylierung zur bereits beschriebenen Verbindung 34 wie auch durch partielle Hydrolyse derselben in gesättigter methanolischer Kaliumcarbonat-Lösung zu 39 gesichert wurde. Ebenso konnte das O, O'-Diacetylderivat 37 alkalisch zur ursprünglichen Hydroxy-ketosäure 35 verseift werden.

Für das O-Acetyl-enol- γ -lacton lässt sich die Strukturformel 38 mit einer dreifach substituierten Doppelbindung aus dessen NMR.-Spektrum (Fig. 6) ableiten. Nebst den Signalen der nicht äquivalenten Protonen an der zum Lactoncarbonyl α -ständigen Methylengruppe [zwei Doublette bei $\delta=2,09$ und 2,58; J=16 Hz] tritt in diesem ein undeutlich strukturiertes Signal bei $\delta=5,35$ auf, das einem Vinylproton mit noch mindestens einem Proton am benachbarten Kohlenstoffatom entspricht.

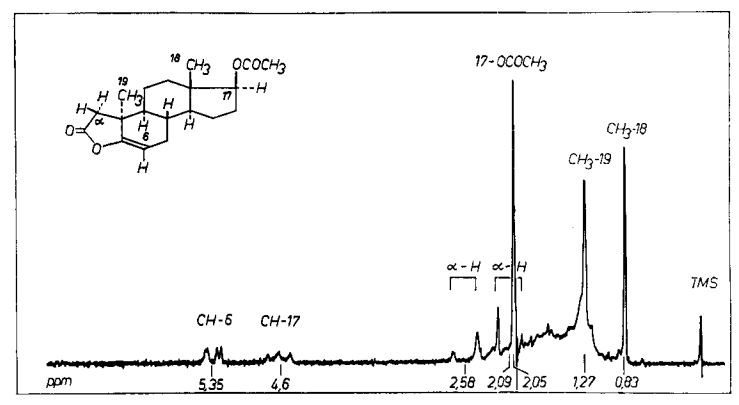


Fig. 6. NMR.-Spektrum des O-Acetyl-enol-y-lactons 38

Die besprochene Reaktionsfolge zeigt, dass die zwei Carboxylgruppen von 30 gleichzeitig 1,5- und 1,6-Lage zueinander einnehmen. Sie stellt somit den Beweis für das Vorliegen eines Cyclopropanringes im Isomeren A_3 dar. Daraus, sowie aus den NMR.-Daten des O-Acetyl-enol- γ -lactons 38, lässt sich für A_3 die Partialformel

gen wird. Mit Hilfe von Dreiding-Modellen lässt sich ferner erkennen, dass die cis-Anellierung des Lactolringes (vgl. g) eine destabilisierende Verdrehung der zwei B/C-Ringverknüpfungsstellen um die C(-8)-C(-9)-Bindung hervorrufen würde. Interessanterweise erfolgt diese Verdrehung in entgegengesetzter Richtung als diejenige, welche mit dem Übergang der diastereomeren Ketosäure h in die entsprechende cis-verknüpfte Lactolform i verbunden ist.

$$0 \xrightarrow{\text{I}} H \xrightarrow{$$

d ableiten. Die Konstitution und Konfiguration des Ketons A_3 , speziell die α -Lage der Methylgruppe 19, werden dadurch insofern festgelegt, als sich das Abbauprodukt 38 von dem entsprechenden O-Acetyl-enol- γ -lacton 40²⁷) mit β -Konfiguration der Methylgruppe am Kohlenstoffatom 10 eindeutig unterscheidet ²⁸).

Auf Grund der so bewiesenen Konfiguration von A₃ (23) lässt sich jetzt der oben besprochene, analoge Verlauf der Rotationsdispersionskurve des Dihydroketons A₃ (25) mit demjenigen des Methylhomologen 24 und des Dihydrolumisantonisn (vgl. Fig. 5) als ein weiteres, unabhängiges Argument auswerten zugunsten der Konfiguration des Bestrahlungsproduktes 22 aus O-Acetyl-1-dehydro-4-methyl-testosteron¹⁶) und des Lumisantonins (41)¹⁸)¹⁹), einem der Bestrahlungsprodukte des Santonins. Auf die Bedeutung dieser stereochemischen Verhältnisse im Zusammenhang mit dem Mechanismus der Bildung dieses Verbindungstypus wird im Abschnitt 8 noch näher eingegangen.

5. Keton A_4 . – Für die Strukturaufklärung dieses vierten ketonischen Isomeren war vor allem dessen UV.-Spektrum $[\lambda_{max}=231,\ 268\ \text{m}\mu;\ \log\ \varepsilon=3,73,\ 3,62]$ aufschlussreich, das praktisch identisch ist mit den Spektren des Umbellulons (42) ²⁹) und eines unlängst von Barton & Taylor ³⁰) beschriebenen Bestrahlungsproduktes von 21-O-Acetyl-prednison, dem die spirocyclische Struktur 43 zukommt. Die Hydrierung von A_4 in Gegenwart von Palladiumkohle-Katalysator lieferte eine gesättigte pentacyclische Dihydroverbindung $C_{21}H_{30}O_3$ (45), welche die erwarteten ²⁹) ³⁰) spektroskopischen Eigenschaften $[\lambda_{max}=212\ \text{m}\mu$, $\log\ \varepsilon=3,68$; $v_{max}=1725$, 1713, 1260 cm⁻¹ (KBr)] aufweist.

Die Vermutung, dass A_4 eine ähnliche Struktur wie 43 besitzen könnte, wurde bereits von Barton & Taylor geäussert³⁰), die gleichzeitig den Unterschied in den Drehungsverschiebungen bei den Übergängen $1 \rightarrow A_4$ und 21-O-Acetyl-prednison \rightarrow 43 als Resultat einer andersartigen sterischen Anordnung der Substituenten am Cyclo-

²⁷) N. W. ATWATER, J. Amer. chem. Soc. 82, 2847 (1960).

²⁸⁾ Dasselbe gilt auch für die Zwischenprodukte des Abbaus von Testosteron zum O-Acetyl-enolγ-lacton 40, soweit sie denjenigen der Keton-A₃-Reihe (32-37) entsprechen (vgl. exper. Teil, Abschnitt I).

²⁹) Über die UV.- und IR.-Spektren von Umbellulon (42) und Dihydroumbellulon vgl. A. E. Gillam & T. F. West, J. chem. Soc. 1945, 95; Y. R. Naves, Helv. 28, 701 (1945); R. H. Eastham, J. Amer. chem. Soc. 76, 4115 (1954); R. H. Eastham & J. C. Selover, ibid. 4118.

³⁰) D. H. R. BARTON & W. C. TAYLOR, J. chem. Soc. 1958, 2500.

propanring der zwei Produkte gedeutet haben. Das NMR.-Spektrum von A_4 (Fig. 7) zeigt nun allerdings, dass von den beiden Methylgruppen dieser Verbindung nur eine angulär [C-18; Singlett bei $\delta=0,76$], die andere dagegen olefinisch [C-19; Doublett bei $\delta=2,11$, J= ca. 1,5 Hz] gebunden ist und dass die Doppelbindung lediglich ein Vinylproton [$\delta=5,39$] trägt. Die chemischen Verschiebungen und Multiplizität der beiden letzteren Signale lassen sich mit der in der Partialformel \mathbf{j} wiedergegebenen Anordnung einer zum Carbonyl β -ständigen Methylgruppe vereinbaren. Die Haftstelle der Methylgruppe 19 folgt auch unmittelbar aus dem Ergebnis

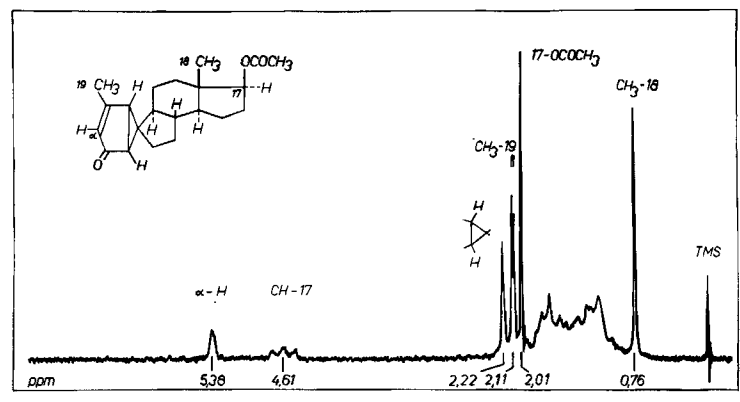


Fig. 7. NMR.-Spektrum von Keton A4 (44)

der basisch katalysierten Behandlung von A4 mit Benzaldehyd, die unter gleichzeitiger Hydrolyse der O-Acetylgruppe an C-17 zur Bildung einer kristallinen Benzalverbindung $C_{26}H_{30}O_2$ [46; $\lambda_{max}=236$, 337 m μ , $\log \varepsilon=3,94$, 4,42] führte. Das Kohlenstoffgerüst dieser Benzalverbindung besitzt auf Grund der C-Methyl-Bestimmung nach Кини-Roth eine Methylgruppe weniger als das Keton A₄. Dieser Befund wird ferner durch das NMR.-Spektrum von 46 bestätigt, in welchem das Signal der olefinisch gebundenen Methylgruppe 19 von A_4 (44) fehlt. Die dadurch ermittelte Lage der Methylgruppe am chromophoren System von A₄ wurde schliesslich auch durch oxydative Abbauversuche nachgewiesen. Die Ozonisierung von A₄ (44) lieferte unter Verlust eines Kohlenstoffatoms eine Ketosäure $C_{20}H_{28}O_5$ [47; $\nu_{max}=3420$, 1740–1705 (breit), 1680, 1255 cm⁻¹ (Nujol); $pK_{MCS}^* = 7,09$]. Die Methylketon-Gruppierung von 47 konnte durch die Bildung von Jodoform beim Abbau mit alkalischer Hypojodit-Lösung nachgewiesen werden. Erhitzte man ferner die Ketosäure 47 mit Natriumacetat in Acetanhydrid, so entstand das O-Acetylderivat eines γ-Lactols [48; $v_{max} = 1790$, 1733, 1260 cm⁻¹ (CHCl₃)], welches bereits bei 120° im Hochvakuum quantitativ in ein Enol-y-lacton C₂₀H₂₆O₄ umgewandelt wurde. In Übereinstimmung mit der dem letzteren zugeteilten Struktur 49 treten in dessen IR.-Spektrum Banden bei 1792, 1728, 1675 und 1262 cm⁻¹ (CHCl₃) auf.

Zugunsten der spirocyclischen Natur von Keton A_4 (44) lässt sich dessen NMR.-Spektrum (Fig. 7) auswerten. Darin tritt bei $\delta=2,22$ ein scharfes Signal auf, das nur den beiden Protonen am Cyclopropanring in α' - bzw. vinyloger α -Stellung zur Carbonylgruppe zugeordnet werden kann. Die Signale dieser beiden Protonen besitzen die gleiche chemische Verschiebung im Spektrum von 44, nicht aber im Spek-

trum des sich aus 44 ableitenden Derivates 46, wo sie als AB-System [$\delta = 2,63$ (A), 2,36 (B); J = 5 Hz] erscheinen, dessen B-Komponente eine zusätzliche Splitterung um ca. 1 Hz durch das α -ständige Vinylproton [$\delta = 5,64$; J = ca. 1 Hz] erfährt¹⁷).

Die auf Grund der bereits besprochenen spektroskopischen Daten abgeleitete Strukturformel 44 für A_4 , die sich vom Bestrahlungsprodukt 43 aus 21-O-Acetylprednison mindestens bezüglich der Haftstelle der Methylgruppe 19 unterscheidet ³¹), wird auch durch die photochemische Beziehung zwischen den Ketonen A_4 und A_2 (18) gestützt, worauf in Abschnitt 8 näher eingegangen werden soll.

6. Phenol B_3 . – Die Bildung phenolischer Produkte bei der UV.-Bestrahlung von O-Acetyl-1-dehydro-testosteron (1) in Dioxanlösung liess von vornherein erwarten, dass es sich dabei durchwegs um Derivate des 17β -Acetoxy- $\Delta^{1;\,3;\,5,\,10}$ -östratriens handelt, die sich lediglich durch die relative Lage einer Methylgruppe und einer Hydroxylgruppe unterscheiden. Dies trifft zunächst für die Isomeren B_1 und B_2 zu, für welche die Strukturformeln 2 und 3 feststehen.

Ein erster Hinweis auf die Struktur des Phenols B_3 ergibt sich aus der Tatsache, dass dessen O-Acetylderivat das Hauptprodukt der Behandlung von Keton A_1 (4) mit Schwefelsäure in Acetanhydrid darstellt. Unter der Voraussetzung, dass bei dieser Dienon-Phenol-Umlagerung, wie bei andern ähnlichen Umsetzungen, von den

$$R_{1}O$$
 H
 H
 H
 $R_{2}O$
 R_{2}
 $R_{3}O$
 $R_{1}=H, R_{2}=Ac$
 $R_{3}O$
 $R_{4}=R_{2}=Ac$
 $R_{5}O$
 $R_{1}=R_{2}=Ac$
 $R_{2}=Ac$
 $R_{3}O$
 $R_{4}O$
 $R_{5}O$
 $R_{5}O$

³¹⁾ Wir stimmen im übrigen der Meinung der englischen Autoren 30) bei, dass die sterische Anordnung der Substituenten am Cyclopropanring der beiden Verbindungen 43 und 44 verschieden sein dürfte. Natürlich braucht diese Feststellung nicht auf alle drei in Frage kommenden Kohlenstoffatome zuzutreffen.

beiden in Betracht kommenden Kohlenstoffatomen das meist substituierte wandert 32), leiten sich daraus für B_3 und dessen O-Acetylderivat die Formeln 50 bzw. 51 ab. Diese konnten in der Folge auf unabhängigem Weg bestätigt werden.

Die beiden aromatischen Protonen von 50 geben im NMR.-Spektrum Anlass zu zwei Doublett-Signalen bei $\delta=6.56$ und 6.68, deren Kopplungskonstanten von ca. 2,5 Hz ebenso wie die IR.-Banden von 50 bei 835 und 853 cm⁻¹ für ein 1,2,3,5tetrasubstituiertes Benzolderivat charakteristisch sind. Die Lage der Methylgruppe am Benzolkern folgt eindeutig aus folgenden Versuchen: Die alkalische Hydrolyse von 50 ergab eine Dihydroxyverbindung (52) 33), welche nach Oppenauer zum 17-Keton 5333) oxydiert wurde. Milde Dehydrierung des entsprechenden Methyläthers 54 mit Palladiumkohle bei 150° lieferte eine Verbindung C20H22O2, die auf Grund des charakteristischen UV.-Spektrums [$\lambda_{max} = 238$, 286, 296, 320, 335 m μ ; $\log \varepsilon = 4,95,3,87,3,80,3,36,3,44$ als das Östrapentaen-Derivat 55 formuliert werden kann. Unter Berücksichtigung der Befunde von Bachmann & Dreiding 34) bei der analogen Darstellung des Methyläthers von 14β-Equilenin ist auch für unser Produkt 55 die 14β -Konfiguration zu postulieren. Dehydrierung von 54 mit Palladiumkohle unter drastischeren Bedingungen (350°) führte schliesslich zu einem Methoxyphenanthren C₁₉H₂₀O (56), welches durch Spaltung der Methyläther-Gruppe mit Pyridinhydrochlorid und anschliessende Reduktion des gebildeten rohen Phenanthrols (57) mit Zinkstaub in einer Zinkchlorid-Natriumchlorid-Schmelze³⁵) in das bekannte 1-Äthyl-2, 8-dimethyl-phenanthren (17)¹²) übergeführt werden konnte.

Diese experimentelle Verknüpfung stellt zusammen mit der beschriebenen Beziehung zum Keton A_1 (4) einen lückenlosen Beweis für die Struktur 50 des Isomeren B_3 dar.

7. Phenol B₄. – Das vierte phenolische Isomere aus der Bestrahlung von O-Acetyl-1-dehydro-testosteron (1), das Phenol B₄, ist dadurch charakterisiert, dass sein O-Acetylderivat durch säurekatalysierte Umlagerung des Ketons A₂ (18) zugänglich ist. Aus der Struktur des letzteren ergeben sich daher für das Phenol B₄ und dessen O-Acetylderivat mit grosser Wahrscheinlichkeit die Formeln 58 und 59, indem auch hier anzunehmen ist, dass bei der Umlagerung $18 \rightarrow 59$ das meist substituierte Kohlenstoffatom wandert. Die NMR.-Signale der aromatischen Protonen von B₄ (zwei Doublette bei $\delta = 6,49$ und 6,70; J < 2 Hz) sind mit der so abgeleiteten Struktur vereinbar, während das IR.-Spektrum von 58 [$\nu_{max} = 838$, 823 cm⁻¹ (KBr)] in diesem Fall keine eindeutige Aussage über die Art der Substitution am aromatischen Ring erlaubt. Zur näheren Charakterisierung wurde 58 über die Zwischenstufen 60 und 61 in einen Keto-methyläther C₂₀H₂₆O₂ (62) umgewandelt. Die Dehydrierung von 62 mit Palladiumkohle bei 350° ergab nebst einem Phenanthrenderivat der Zusammensetzung C₁₉H₂₀O (63; $\lambda_{max} = 259$, 300, 312, 338, 346, 354 m μ ; log $\varepsilon = 4,20$, 3,69, 3,71, 2,83, 2,48, 2,82] eine Östrapentaen-Verbindung

³²) Vgl. z. B. S. M. Bloom, J. Amer. chem. Soc. 80, 6280 (1958), und die dort zitierten Literaturstellen.

³³⁾ Die Verbindungen 51, 52 und 53 sind inzwischen auch von H. Dannenberg, D. Dannenberg-von Dresler & T. Köhler, Chem. Ber. 93, 1989 (1960), auf einem andern Weg hergestellt worden; für 51 vgl. auch R. L. Clarke, J. Amer. chem. Soc. 84, 467 (1962).

³⁴) W. E. Bachmann & A. S. Dreiding, J. Amer. chem. Soc. 72, 1323 (1950).

³⁵⁾ Vgl. E. Clar, Ber. deutsch. chem. Ges. 72, 1645 (1939).

 $C_{20}H_{22}O_2$, deren Struktur **64** ³⁶) durch eine eindeutige Partialsynthese ermittelt wurde.

Als Ausgangsmaterial diente dabei 19-Nor-testosteron (65) 37). In Anlehnung an ein bereits beschriebenes Verfahren 38) wurde dieses in das 2α -Methyl-Homologe 66 übergeführt. Aus der Behandlung von 66 mit Äthylen-dithioglykol und Bortrifluorid resultierte ein amorphes Thioketal (67), welches mit Natrium in flüssigem Ammoniak 40) zum ungesättigten Alkohol 68 reduktiv entschwefelt wurde. Zur Ein-

führung einer Sauerstoffunktion in Stellung 4 des Gerüstes erwies sich die Methode von Brown⁴¹) als besonders geeignet: Umsetzung von **68** mit Bortrifluorid und Lithiumaluminiumhydrid in Ätherlösung⁴²), gefolgt von der Oxydation des intermediär gebildeten Borans mit alkalischem Wasserstoffperoxid, führte zu einem kristallinen Gemisch von diastereomeren Dihydroxyverbindungen (vgl. **69**), welches

³⁶⁾ Die Zuteilung der 14β-Konfiguration für 64 wurde mit der schon beim analogen Fall der Verbindung 55 (vgl. Abschnitt 6) besprochenen Begründung getroffen.

³⁷) A. J. Birch, J. chem. Soc. 1950, 367.

³⁸) H. J. RINGOLD & G. ROSENKRANZ, J. org. Chemistry 21, 1333 (1956).

³⁹⁾ Inzwischen ist 2α-Methyl-19-nor-testosteron (66) auch von R. VILLOTTI, H. J. RINGOLD & C. DJERASSI, J. Amer. chem. Soc. 82, 5693 (1960), auf dem gleichen Weg hergestellt worden.

⁴⁰⁾ R. E. IRELAND, T. I. WRIGLEY & W. G. YOUNG, J. Amer. chem. Soc. 80, 4604 (1958).

⁴¹) H. C. Brown & B. S. Subba Rao, J. Amer. chem. Soc. 78, 5694 (1956), und J. org. Chemistry 22, 1136 (1957); H. C. Brown & G. Zweifel, J. Amer. chem. Soc. 81, 247 (1959).

⁴²) Zur Methodik vgl. S. Wolfe, M. Nussim, Y. Mazur & F. Sondheimer, J. org. Chemistry 24, 1034 (1959).

ohne weitere Reinigung nach KILIANI mit Chrom(VI)-oxid in Acetonlösung zum einheitlichen Diketon 70 oxydiert wurde. Dehydrierung von 70 mit Palladiumkohle bei 300° und anschliessende Verätherung der phenolischen Reaktionsprodukte mit Dimethylsultat lieferte schliesslich ein Gemisch, aus dem nach chromatographischer Reinigung das gewünschte Produkt 64 in kleiner Ausbeute isoliert werden konnte. Die Identität der beiden Proben von 64 beweist die Struktur 58 von Phenol B₄. Gleichzeitig bilden diese Versuche indirekt eine weitere experimentelle Stütze für die dem Keton A₂ in Abschnitt 3 zugeteilte Strukturformel 18.

8. Zum Mechanismus der photochemischen Isomerisierung. – Auf den auffallenden Gegensatz des komplexen Reaktionsbildes der Bestrahlung von O-Acetyl-1-dehydro-testosteron (1) in Dioxanlösung zum Resultat der photochemischen Isomerisierung des 4-Methyl-Homologen von 1 unter den gleichen Versuchsbedingungen, die zu einem einzigen Photoisomeren (22) führt, ist schon früher 16) hingewiesen worden. Nachdem die Konstitution der acht Isomeren A_1 - A_4 und B_1 - B_4 feststand, versuchten wir, deren gegenseitige photochemische Beziehungen vorläufig dadurch zu ermitteln, dass wir die ketonischen Produkte erneut der UV.-Bestrahlung unterwarfen. Bei diesen Versuchen wurden dieselben Bedingungen angewandt, die zur Bildung der beschriebenen Photoprodukte aus O-Acetyl-1-dehydro-testosteron (1) geführt hatten.

Orientierende Versuche zeigten, dass z. B. Keton A_1 (4) dabei hauptsächlich zu 17-O-Acetyl-1-methyl-östradiol [B_1 (2); Ausbeute 30%] isomerisiert wird. Ferner liessen sich nebst 11% unverändertem Ausgangsketon (4) zusätzlich auch Keton A_4 (44) in 13-proz. und Keton A_2 (18) in 7-proz. Ausbeute isolieren. Keton A_3 (23) war dem UV.-Licht gegenüber stabiler und konnte nach dem Bestrahlungsversuch in 28-proz. Ausbeute unverändert zurückgewonnen werden; daneben wurden noch

35% Phenol B_3 (50) sowie 5% Keton A_4 (44) isoliert. Letzteres (44) scheint somit eine zentrale Stelle unter den acht Isomeren einzunehmen, ist es doch aus dem Ausgangsmaterial (1) sowohl über A_1 (4) wie auch über A_3 (23) erhältlich. Von besonderem Interesse ist die Bestrahlung des Ketons A_4 (44), welche zur Bildung des

linear konjugierten Ketons A_2 [18; Ausbeute 8%] und der Phenole B_2 [3; Ausbeute 31%] und B_4 [58; Ausbeute 21%] führte.

Übersichtshalber sind diese experimentell festgelegten photochemischen Beziehungen zwischen O-Acetyl-1-dehydro-testosteron (1) und seinen acht isomeren Bestrahlungsprodukten im obigem Schema zusammenfassend dargestellt. Es muss hier aber ausdrücklich darauf hingewiesen werden, dass die aus diesem Schema ersichtlichen Umsetzungen das Resultat der Bestrahlung einzelner reiner Photoprodukte sind und daher nicht den bei der Bestrahlung von 1 vorherrschenden Verhältnissen (hinsichtlich Konzentration, Filterwirkung usw.) entsprechen können. Sie dürfen zudem nicht ohne weiteres als direkte Übergänge angesehen werden. Als Beispiel möchten wir lediglich die Bildung des Ketons A₂ (18) aus Keton A₁ (4) anführen, welche sowohl auf direktem Weg wie auch über Keton A₄ (44) bzw. ein bisher nicht gefasstes, instabileres Isomeres als Zwischenstufe ablaufen könnte. Es scheint hingegen festzustehen, dass sich die Phenole, sobald sie ausgebildet sind, durch eine dem UV.-Licht gegenüber gesteigerte Stabilität auszeichnen.

Die gegenseitigen photochemischen Beziehungen sind zur Zeit noch Gegenstand eingehender Untersuchungen, die u. a. auch auf das photochemische Verhalten der Ketone A₂ (18) und A₅⁷) ausgedehnt werden.

Im Licht der besprochenen Zusammenhänge zwischen den sechs neuen (A₁-A₄, B₃ und B₄) und den zwei bereits früher bekannten Isomeren (B₁ und B₂⁴)) scheint es wahrscheinlich, dass alle Bestrahlungsprodukte von O-Acetyl-1-dehydro-testosteron (1) am Kohlenstoffatom 9 die gleiche Konfiguration besitzen und dass diese mit derjenigen von C-9 des Ausgangsmaterials (1) identisch ist. Sieht man von der recht unwahrscheinlichen Möglichkeit ab, dass die photochemisch induzierte Phenolbildung eine stets in gerader Anzahl auftretende Folge von Konfigurationsumkehrungen am C-9 einschliesst, so wird diese Annahme durch die Tatsache gestützt, dass die Rotationsdispersionskurven der Phenole B₃ und B₄ sowohl untereinander wie mit derjenigen von 17-O-Acetyl-östradiol ⁴³) ähnlich sind ²¹).

Das vorläufige Bild über die Reihenfolge der Entstehung einzelner Isomeren stellt immerhin eine weitere Stütze zugunsten der bereits früher geäusserten Annahme dar, dass die vier phenolischen Isomeren B₁-B₄ über die Zwischenstufen der ketonischen Produkte A₁-A₄ entstehen. Wir erblicken darin einen ersten bemerkenswerten Unterschied zwischen der photochemischen und der bereits von mehreren Autoren untersuchten Dienon-Phenol-Umlagerung ³²). Bei der letzteren sind die postulierten spirocyclischen Zwischenprodukte kationischer Natur und entziehen sich daher der Isolierung. Im Hinblick auf die Präzisierung der bei der photochemischen Isomerisierung beteiligten, angeregten Zustände ⁴⁵) verdienen die unterschiedlichen Resultate der Umsetzungen mit Keton A₁ (4) Beachtung. Während die säurekatalysierte wie auch die thermische Reaktion unter Wanderung des stärker substituierten Kohlenstoffatoms (C-9) erwartungsgemäss ³²) die Ausbildung von Phenol B₃ (50)

⁴³) K. Miescher & C. Scholz, Helv. 20, 263 (1937).

¹⁴) Bezüglich der 9α-Konfiguration des Östradiols vgl. W. S. Johnson, I. A. David, H. C. Dehm, R. J. Highet, E. W. Warnhoff, W. D. Wood & E. T. Jones, J. Amer. chem. Soc. 80, 661 (1958).

⁴⁵) Vgl. insbesondere die detaillierte Diskussion für einen ähnlichen Fall bei H. E. ZIMMERMAN & D. I. SCHUSTER, J. Amer. chem. Soc. 83, 4486 (1961).

bewirkte, entstand bei der Nachbestrahlung von 4 das Phenol B₁ (2), dessen Bildung formell durch eine Wanderung des weniger substituierten Kohlenstoffatoms (C-6) gedeutet werden kann. Dass bei den photochemisch induzierten Isomerisierungen von Dienonen zu Phenolen aber nicht immer das weniger substituierte Kohlenstoffatom wandert und dass die oben erwähnte Beobachtung somit nicht verallgemeinert werden darf, zeigt die früher beschriebene photochemische Überführung des Methyl-Homologen von A₃ (17-O-Acetylderivat von 22) in 17-O-Acetyl-1,2-dimethylöstradiol¹⁶), bei welcher unter diesen Bedingungen das stärker substituierte Kohlenstoffatom wanderte.

Eine Diskussion des detaillierten Mechanismus, der für die Bildung der einzelnen Produkte verantwortlich ist, scheint uns insofern verfrüht, als sie lediglich auf Vermutungen angewiesen ist, die einer experimentellen Überprüfung bedürfen. Es ist ja klar, dass sowohl das Ausgangsmaterial wie auch die 4 ketonischen Bestrahlungsprodukte bzw. die tautomeren Ketoformen der vier phenolischen Bestrahlungsprodukte durchwegs Cyclohexanderivate darstellen, die sich lediglich durch die Anordnung von 7 Substituenten (3 Wasserstoffatome, ein doppelt gebundenes Sauerstoffatom, eine Methylgruppe sowie die Kohlenstoffatome 6 und 9) voneinander unterscheiden, so dass der Übergang von der einen in die andere Verbindung durch eine Reihe von 1,2-Umlagerungen formell immer gedeutet werden kann. Die relative Einfachheit der resultierenden Schemata braucht aber schliesslich nicht für ihre Richtigkeit zu bürgen.

Eine erste Einschränkung der Fülle von möglichen Reaktionswegen ist nur in jenen Fällen möglich, in welchen die Stereochemie des Eduktes und des Produktes festgelegt worden ist. Als Illustration soll hier die Bildung von Keton A_3 (23) aus O-Acetyl-1-dehydro-testosteron (1) angeführt werden. Der Übergang $1 \rightarrow 23$ liesse sich a priori, ausgehend von einem willkürlich gewählten photochemisch angeregten Zustand 46), durch die in der Folge $k \rightarrow m$ dargestellte Reihe von 1,2-Umlagerungen

⁴⁶⁾ Wir möchten ausdrücklich betonen, dass die hier verwendeten Formelbilder keinesfalls eine Präzisierung der Natur der angeregten Zustände implizieren, sondern lediglich als vorläufiges Hilfsmittel für die Diskussion des uns interessierenden stereochemischen Problems dienen. Die sich daraus ergebenden Schlussfolgerungen bewahren ihre Gültigkeit ungeachtet der wahren (radikalischen oder ionischen) Natur der angeregten Zustände.

formulieren. Ein solches Schema würde aber zwangsläufig zur Bildung eines Produktes (\mathbf{m}) mit β -Lage der Methylgruppe führen und kann auf Grund der bewiesenen Stereochemie von A_3 (23) verworfen werden. Diese Stereochemie stimmt jedoch mit derjenigen überein, die auf Grund einer Reorganisation der Bindungen im Ring A des Eduktes nach dem Schema $\mathbf{n} \to \mathbf{o}$ zu erwarten ist. Dieses Schema, welches erstmals von Barton zur Deutung des photochemischen Übergangs Santonin \to Lumisantonin vorgeschlagen wurde 47), setzt eine Umkehrung der Konfiguration am quaternären Kohlenstoffatom des Ausgangsmaterials voraus. Ausser für den hier diskutierten Fall liess sich bisher eine solche Umkehrung der Konfiguration auch bei der photochemischen Isomerisierung von Santonin 20), 4-Methyl-1-dehydro-testosteron 16), Dehydroergosteryl-acetat 48) und Dehydrolumisteryl-acetat 48) nachweisen.

Wir möchten in diesem Zusammenhang auf die bemerkenswerte Tatsache hinweisen, dass die Übertragung des gleichen formellen Schemas auf Keton A_1 (4) eine glatte Erklärung für die Bildung von Keton A_4 (44) zu geben vermag (vgl. $\mathbf{p} \rightarrow \mathbf{q}$). Auch die Beziehungen der Ketone A_2 (18) und A_4 (44) beruhen möglicherweise auf einem ähnlichen Isomerisierungsvorgang, wobei allerdings hier das Gleichgewicht zugunsten des Dienons \mathbf{r} verschoben zu sein scheint. Dementsprechend sollte man bei diesen Übergängen ebenfalls mit einer Umkehrung der jeweiligen, bisher nicht ermittelten Konfiguration am spirocyclischen Kohlenstoffatom rechnen.

Einem andern Typus von lichtkatalysierter Isomerisierung scheinen hingegen die Bildung des Ketons A_1 (4) aus O-Acetyl-1-dehydro-testosteron (1) sowie die Bildung der 4 phenolischen Produkte B_1 - B_4 anzugehören, da in all diesen Fällen eine C-C-Bindung des Ringes B wandern muss. In der Annahme, dass eine unmittelbare Beziehung zwischen 1 und 4 besteht, würde eine solche Wanderung der Stufe $\mathbf{s} \rightarrow \mathbf{t}$ entsprechen. Auf Grund dieses Schemas sollte A_1 (4) die in der Partialformel \mathbf{t} wiedergegebene Stereochemie aufweisen. Vorläufig lässt sich aber die Möglichkeit nicht ausschliessen, dass A_1 (4) über A_3 (23) nach dem Schema $\mathbf{u} \rightarrow \mathbf{v}$ entsteht, was zu einem mit \mathbf{t} an der spirocyclischen Verknüpfungsstelle diastereomeren Produkt führen würde. Obwohl bisher experimentell kein direkter Übergang zwischen A_1 (4) und A_3 (23) ermittelt werden konnte, scheint auf Grund der Tatsache, dass beide Ketone bei der Nachbestrahlung ein gemeinsames Produkt (A_4) liefern, eine eindeutige stereochemische Beziehung zwischen diesen Verbindungen naheliegend. Hier

⁴⁷) D. H. R. BARTON, Helv. 42, 2604 (1959).

⁴⁸⁾ D. H. R. BARTON, R. BERNASCONI & J. KLEIN, J. chem. Soc. 1960, 511.

liegt wiederum ein Fall vor, wo die Bestimmung der Stereochemie des Produktes eine Auswahl unter den in Betracht kommenden Reaktionswegen ermöglichen würde.

Abschliessend soll auf den bemerkenswerten Befund hingewiesen werden, dass unter Bedingungen, die zu einer glatten Isomerisierung gekreuzt konjugierter Cyclohexadienone führen, sich deren Oxime als stabil erweisen⁴⁹). Daraus ist ersichtlich, dass die oben erwähnten Schemata mindestens insofern eine unberechtigte Vereinfachung darstellen, als sie der wichtigen Rolle des Heteroatoms keine Rechnung tragen.

Der CIBA AKTIENGESELLSCHAFT, Basel, danken wir für die Unterstützung dieser Arbeit. Ausserdem standen uns für einen Teil der Untersuchungen Mittel des Schweiz. Nationalfonds zur Förderung der Wissenschaftlichen Forschung (Projekt Nr. 2266) zur Verfügung.

Experimenteller Teil

Die NMR.-Spektren wurden mit einem Varian-Spektrographen, Modell A-60, bei 60 Megahertz und einer Feldänderungsgeschwindigkeit von 1 Hz/s aufgenommen. Die Lage der Signale ist in δ -Werten (ppm) angegeben, bezogen auf internes Tetramethylsilan ($\delta=0$). Zur Charakterisierung der Signale werden folgende Abkürzungen verwendet: s (Singlett), d (Doublett), m (Multiplett), b (breites, nicht strukturiertes Signal); die in Klammern angefügten Zahlen betreffen die durch elektronische Integration ermittelte, auf- bzw. abgerundete Protonenzahl. – Die UV.-Spektren wurden in Äthanol gemessen.

Die Smp. sind nicht korrigiert und wurden in einer im Hochvakuum zugeschmolzenen Kapillare im Ölbad bestimmt. Die spez. Drehungen wurden in CHCl₃-Lösung in einem Rohr von 1 dm Länge gemessen. – Wenn nicht näher beschrieben, wurde wie folgt aufgearbeitet: Aufnahme des Reaktionsgemisches in Äther, Waschen der organischen Phase mit Wasser bis zum Neutralpunkt und Eindampfen der über wasserfreiem Na₂SO₄ getrockneten Ätherlösung im Rotationsverdampfer. – Bei den Dünnschichtchromatogrammen gelangte als Träger Kieselgel G Merck zur Anwendung; der Nachweis der Substanzflecke erfolgte durch Besprühen der getrockneten Kieselgelschicht mit 50-proz. H₂SO₄.

A. UV.-Bestrahlung von O-Acetyl-1-dehydro-testosteron (1) in Dioxan-Lösung

1. Mit Quecksilber-Hochdruckbrenner (Biosol A, Philips, 250 Watt). Für die Bestrahlungsversuche wurde jeweils ein zylinderförmiges Quarzgefäss (Durchmesser 3 cm) verwendet, das mit einem Kühlfinger versehen war und eine Lösung von 3 g O-Acetyl-1-dehydro-testosteron (1) in 75 ml abs. Dioxan enthielt. Die Entfernung der extern angeordneten Lichtquelle vom Reaktionsgefäss betrug 10 cm. Die bei ca. 15° gehaltene Lösung wurde während des Versuchs mit einem Magnetrührer gut gerührt und darauf im Wasserstrahlvakuum zur Trockne eingedampft.

⁴⁹) Unveröffentlichte Arbeiten in unserem Laboratorium.

a) Bestrahlungsdauer: 11/2 Std. Das Rohgemisch wurde in einem ersten Chromatogramm an 90 g neutralem Al₂O₃ (Akt. II) vorgereinigt. 2,5 l Benzol eluierten 1,905 g eines ketonhaltigen Gemisches, während mit 300 ml Methanol 1,1 g phenolische Produkte (37%) isoliert wurden.

Die ketonhaltige Fraktion (1,905 g) wurde wieder an 200 g neutralem Al₂O₃ (Akt. III) chromatographiert (Tab. 2).

Tabelle 2

Frak- tionen	Lösungsmittel	ml	Eluat mg	Zusammensetzung*)
1	Petroläther-Benzol 9:1	400	510	viel Keton A ₃ wenig Keton A ₄
2	Petroläther-Benzol 9:1	200	110	wenig Keton A ₃ viel Keton A ₄
3	Petroläther-Benzol 9:1	400	210	viel Ketone A_1 und A_2 wenig Ketone A_4 und A_5
4	Petroläther-Benzol 9:1	200	100	viel $Keton A_1$ wenig $Ketone A_2$ und A_5
5	Petroläther-Benzol 9:1 Petroläther-Benzol 1:1	2200	250	Keton A ₁
6	Benzol	1400	265	Keton A, und Ausgangsmaterial
7	Äther	500	160	Ausgangsmaterial

Identifizierung anhand des Dünnschichtchromatogramms [Fliessmittel: Hexan-Aceton-(4:1)].

Fraktion 4 wurde aus Aceton-Hexan umkristallisiert, wobei reines $Keton A_1$ erhalten wurde. Die Mutterlauge wurde zusammen mit Frakticn 3 nochmals an der 100fachen Menge neutralem Al₂O₃ (Akt. III) chromatographiert (Tab. 3).

Tabelle 3

Lösungsmittel	ml	Eluat mg	Zusammensetzung*)
Petroläther-Benzol 2:3 Petroläther-Benzol 2:3 Petroläther-Benzol 2:3	40 40 60	6 20 25	$Keton A_4$ $Ketone A_2 \text{ und } A_4$ $viel Keton A_2$
Petroläther-Benzol 2:3 Petroläther-Benzol 1:4	80	35	wenig Keton A_5 viel Keton A_5 wenig Ketone A_1 und A_2
Petroläther-Benzol 1:4 Petroläther-Benzol 1:9 Benzol Benzol-Äther 50:1	220 60 60	100	Keton A ₁

^{*)} Identifizierung anhand des Dünnschichtchromatogramms [Fliessmittel: Hexan-Aceton-(4:1)].

Durch Umlösen bzw. fraktionierte Kristallisation aus Aceton-Hexan erhielt man aus diesen Eluaten die analysenreinen Komponenten.

Keton $A_1(4)$: 540 mg (18%). Smp. 157–158°. [α]_D = -15° (c = 0.65). UV.-Spektrum: λ_{max} = 246 m μ (log $\varepsilon = 4,26$). IR.-Spektrum: $\nu_{max} = 1731$, 1668, 1618, 1254 cm $^{-1}$ (KBr); $\nu_{max} = 1722$, 1659, 1622, 1606 (Schulter), 1255 cm $^{-1}$ (CHCl₃). NMR.-Spektrum (10% in CDCl₃): $\delta = 0.80/s$ (3) CH_3 -18; 1.97/d/J = ca. 1 Hz (3) CH_3 -19; 2.03/s (3) 17-OCOCH₃; ca. 4.6/b (1) CH-17; 6.10/b(1) α' -H; 6,12/2 $d/J_{\alpha,\alpha'}$ = ca. 2 Hz, $J_{\alpha,\beta}$ = 10 Hz (1) α -H; 6,80/d (1) β -H (vgl. Fig. 1). $C_{21}H_{28}O_3$ Ber. C 76,79 H 8,59% Gef. C 76,76 H 8,84%

Keton A_2 (18): 30 mg (1%). Smp. 148–149°. [α]_D = +256° (e=0,85). UV.-Spektrum: $\lambda_{max}=310$ mμ (log $\epsilon=3,65$), Endabsorbtion bei 206 mμ (log $\epsilon=4,02$). IR.-Spektrum (KBr): $\nu_{max}=1736$, 1657, 1628, 1571, 1260 cm⁻¹. NMR.-Spektrum (8% in CDCl₃): $\delta=0,77/s$ (3) CH₃-18; 2,03/s (3) 17-OCOCH₃; 2,06/d/J= ca. 1,5 Hz (3) CH₃-19; ca. 4,58/b (1) CH-17; 5,90/b (1) α-H; 6,07/2d/ $J_{\alpha,\gamma}=$ ca. 1,5 Hz, $J_{\gamma,\delta}=10$ Hz (1) γ-H; 6,37/d (1) δ-H (vgl. Fig. 2).

C₂₁H₂₈O₃ Ber. C 76,79 H 8,59% Gef. C 76,95 H 8,41%

Keton A_3 (23): 330 mg (11%). Smp. 161–162°. [α]_D = -145° (ε = 0,70). UV.-Spektrum: $\lambda_{max}=238$ mμ (log ε = 3,74). Endabsorption bei 207 mμ (log ε = 3,76). IR.-Spektrum: $\nu_{max}=1739$, 1693, 1669, 1640, 1255 cm⁻¹ (KBr); $\nu_{max}=1720$, 1686, 1575, 1260 cm⁻¹ (CHCl₃). NMR.-Spektrum (13% in CDCl₃): δ = 0,81/s (3) CH₃-18; 1,22/s (3) CH₃-19; 2,03/s (3) 17-OCOCH₃; ca. 4,59/b (1) CH-17; 5,82/2d/ $J_{\alpha,\alpha'}=1$ Hz, $J_{\alpha,\beta}=5$,5 Hz (1) α-H; 7,20/2d/ $J_{\alpha',\beta}=0$,75 Hz (1) β-H (vgl. Fig. 4).

 $C_{21}H_{28}O_3$ Ber. C 76,79 H 8,59% Gef. C 76,51 H 8,79%

Keton A_4 (44): 65 mg (2%). Smp. 174–175°. [α]_D = +296° (e=0,45). UV.-Spektrum: $\lambda_{max}=268,\ 231$ m μ (log $\varepsilon=3,56,\ 3,81$), Endabsorption bei 206 m μ (log $\varepsilon=3,75$). IR.-Spektrum (KBr): $\nu_{max}=1734,\ 1686,\ 1663,\ 1612,\ 1250$ cm⁻¹. NMR.-Spektrum (10% in CDCl₃): $\delta=0,76/s$ (3) CH₃-18; 2,01/s (3) 17-OCOCH₃; 2,11/d/J = ca. 1,5 Hz (3) CH₃-19; 2,22/s (2) Cycloprophylprotonen; ca. 4,61/b (1) CH-17; 5,38/b (1) α-H (vgl. Fig. 8).

 $C_{21}H_{28}O_3$ Ber. C 76,79 H 8,59% Gef. C 76,56 H 8,52%

Keton A_5 : ca. 1%. Smp. 211–212°. [α]_D = - 179° (c = 0,75). UV.-Spektrum: λ_{max} =243 m μ (log ε = 4,18). IR.-Spektrum (CHCl₃): 1721, 1660, 1620, 1607, 1260 cm⁻¹. NMR.-Spektrum (8% in CDCl₃): δ = 0,81/s (3); 1,26/s (3); 2,05/s (3); ca. 4,65/b (1); 6,08/breites s (1); 6,16/2dJ = 1,8, 10 Hz (1); 6,75/d/J = 10 Hz (1).

C₂₁H₂₈O₃ Ber. C **76**,79 H 8,59% Gef. C **76**,80 H 8.61%

b) Bestrahlungsdauer: 9 Std. Das Rohgemisch wurde an 180 g Silicagel (Mallinckrodt, Körnung: 0,15–0,3 mm) chromatographiert. Mit 600 ml Benzol wurden 400 mg 4-Hydroxy-17 β -acetoxy-2-methyl- Δ 1;3;5,10-östratrien (Phenol B_4 ; 58) eluiert, Smp. nach viermaliger Kristallisation aus Aceton-Hexan: 170–171° (239 mg; 8%). [α]_D = +55° (ϵ = 0,80). UV.-Spektrum: λ_{max} = 280 m μ (log ϵ = 3,22), Endabsorption bei 208 m μ (log ϵ = 4,43). IR.-Spektrum: ν_{max} = 3400, 1707, 1618, 1588, 838, 823 cm⁻¹ (KBr); ν_{max} = 3610, 1735, 1240 cm⁻¹ (CS₂). NMR.-Spektrum (13% in CDCl₃): δ = 0,83/s (3) CH₃-18; 2,10/s (3) 17-OCOCH₃; 2,24/s (3) CH₃-19; ca. 4,7/b (1) CH-17; 6,49 +6,70/2 breite s (1+1) CH-1 und -3. Rotationsdispersion ²¹): (+)-COTTON-Effekt, $\alpha_{295 \text{ m}\mu}$ = 0°, $\alpha_{290 \text{ m}\mu}$ = +1700°, $\alpha_{320 \text{ m}\mu}$ = +910°, $\alpha_{500 \text{ m}\mu}$ = +270° [vgl.17-O-Acetyl-östradiol ⁴³): (+)-COTTON-Effekt, $\alpha_{295 \text{ m}\mu}$ =0°, $\alpha_{290 \text{ m}\mu}$ =0°, $\alpha_{290 \text{ m}\mu}$ = +880°, $\alpha_{320 \text{ m}\mu}$ = +630°, $\alpha_{500 \text{ m}\mu}$ = +240°].

C₃₁H₂₈O₃ Ber. C 76,79 H 8,59% Gef. C 76,79 H 8,68%

Mit 300 ml Benzol wurden darauf 222 mg 1-Hydroxy-17 β -acetoxy-4-methyl- $\Delta^{1:3:5,10}$ -östratrien (Phenol B_2 ; 3) isoliert, Smp. nach viermaliger Kristallisation aus Aceton-Hexan: 194–195° (122 mg; 4%). [α]_D = +152° (ϵ = 0,78). UV.-Spektrum: λ_{max} = 279 m μ (log ϵ = 3,20), Endabsorption bei 208 m μ (log ϵ = 4,40). IR.-Spektrum (KBr): ν_{max} = 3520, 1710⁵²), 1621, 1591, 810 cm⁻¹. $C_{21}H_{28}O_3$ Ber. C 76,79 H 8,59% Gef. C 76,74 H 8,59%

Weitere 1,51 Benzol eluierten 630 mg 17-O-Acetyl-1-methyl-östradiol (Phenol B_1 : 2). Der Smp. betrug nach dreimaligem Umkristallisieren aus Aceton-Hexan 175–176° (450 mg; 15%). $[\alpha]_D = +139^\circ$ (c=0,69). UV.-Spektrum: $\lambda_{max}=280$ m μ (log $\varepsilon=3,23$), Endabsorption bei 208 m μ (log $\varepsilon=4,46$). IR.-Spektrum (KBr): $\nu_{max}=3400$, 1703⁵⁰), 1615, 1597, 867, 860 cm⁻¹.

 $C_{21}H_{28}O_3$ Ber. C 76,79 H 8,59% Gef. C 76,73 H 8,57%

Schliesslich konnten mit 1,2 l Benzol noch 100 mg 2-Hydroxy-17β-acetoxy-4-methyl- $\Delta^{1;3;5,10}$ -östratrien (Phenol B_3 ; **50**) erhalten werden, Smp. nach dreimaliger Kristallisation aus Aceton-Hexan: 203–204° (60 mg; 2%). [α]_D = +39° (c = 0,68). UV.-Spektrum: λ_{max} = 279 m μ (log ε = 3,21), Endabsorption bei 207 m μ (log ε = 4,40). IR.-Spektrum (CHCl₃): ν_{max} = 3625, 1723, 1624, 1600, 1260, 853, 835 cm⁻¹. NMR.-Spektrum (12% in CDCl₃): δ = 0,81/s (3) CH₃-18; 2,07/s (3)

⁵⁰⁾ ν_{CO} der 17β-Acetoxy-Gruppe; die ungewöhnliche Lage beruht wohl auf intermolekularer Wasserstoffbrücken-Bildung.

17-OCOCH₃; 2,15/s (3) CH₃-19; ca. 4,75/b (1) CH-17; 6,56+6,68/2d/J = ca. 2,5 Hz (1+1) CH-1 und CH-3. Rotationsdispersion²¹): (+)-Cotton-Effekt, $\alpha_{295\,\mathrm{m}\mu} = 0^\circ$, $\alpha_{290\,\mathrm{m}\mu} = +639^\circ$, $\alpha_{320\,\mathrm{m}\mu} = +560^\circ$, $\alpha_{500\,\mathrm{m}\mu} = +230^\circ$.

2. Mit Quecksilber-Niederdruckbrenner (NK6/20, QUARZLAMPEN GMBH., Hanau, 20 Watt). Eine Lösung von 4,8 g O-Acetyl-1-dehydro-testosteron (1) in 120 ml abs. Dioxan wurde $19^1/_2$ Std. bei Zimmertemperatur in einem zylindrischen Quarzgefäss mit magnetischer Rührung bestrahlt. Die Lichtquelle war wassergekühlt und zentral angeordnet. Nach dem Eindampfen der Reaktionslösung im Vakuum zur Trockne wurde der Rückstand an 300 g neutralem Al_2O_3 (Akt. III) chromatographiert. Mit 1,2 l Benzol eluierte man kristallines Keton A_3 (23), das nach dreimaligem Umlösen aus Aceton-Petroläther bei $161-162^\circ$ schmolz (3,0 g; 62%). In den polareren Eluaten konnten lediglich schwer trennbare Gemische isoliert werden, die auf Grund des Dünnschichtchromatogrammes [Fliessmittel: Hexan-Aceton-(4:1)] die Phenole B_1 (2) und/oder B_3 (50) in Spuren enthielten.

B. UV.-Bestrahlung der Ketone A_1 (4), A_3 (23) und A_4 (44)

Die Bestrahlungsversuche wurden während $1^1/_2$ Std. unter den im Abschnitt A.1 beschriebenen Bedingungen durchgeführt. Die Identifizierung der Bestrahlungsprodukte erfolgte mittels Misch-Smp., spez. Drehung und UV. - und IR.-Spektren.

UV-Bestrahlung von Keton A_1 (4). Das Rohgemisch, erhalten durch Bestrahlung von 600 mg A_1 (4) in 15 ml abs. Dioxan, wurde an 35 mg neutralem Al_2O_3 (Akt. III) chromatographiert (Tab. 4).

Frak- tionen	Lösungsmittel	ml	Eluat mg	Smp.*)	Produkt
1	Petroläther-Benzol 3:8	350	80	172-1 73°	Keton A (44)
2	Petroläther-Benzol 3:8	300	42	147–148°	Keton A2 (18)
3	Petroläther-Benzol 1:1	200	63	154-157°	Keton A_1 (4)
4	Benzol Methanol	400 50	} 180	175– 176°	Phenol B ₁ (2)

Tabelle 4

UV-Bestrahlung von Keton A_3 (23). Das durch Bestrahlung von 680 mg A_3 (23) in 18 ml abs. Dioxan erhaltene Rohgemisch wurde an 40 g neutralem Al_2O_3 (Akt. III) chromatographiert (Tab 5).

Tabelle 5

Frak- tionen	Lösungsmittel	ml	Eluat mg	Smp.*)	Produkt	
1 2 3	Petroläther-Benzol 1:2 Petroläther-Benzol 1:1 Benzol Methanol	650 300 500 100	190 35 } 242	160–161° 171–173° 202–204°	Keton A ₃ (23) Keton A ₄ (44) Phenol B ₃ (50)	
*) Nach Kristallisation aus Aceton-Hexan						

UV-Bestrahlung von Keton A_4 (44). Nach der Bestrahlung von 350 mg A_4 (44) in 10 ml abs. Dioxan wurde das Rohprodukt an 13 g neutralem Al_2O_3 (Akt. III) chromatographiert (Tab. 6).

Tabell	۵	6
Tabell	C	v

Frak- tionen	Lösungsmittel	ml	Eluat mg	Smp.*)	Produkt
1 2 3	Petroläther-Benzol 1:2 Benzol Benzol	150 350 450	29 74 110	147–148° 170–171° 194–195°	* ' '
*) Nach Kristallisation aus Aceton-Hexan					

C. Umsetzungen mit Keton A, (4)

17-Desacetyl-keton- A_1 (5). 500 mg Keton A_1 (4) wurden 2 Std. mit 30 ml siedender 5-proz. methanolischer KOH-Lösung behandelt. Man erhielt 438 mg Rohprodukt, das nach Filtration in Benzol-Lösung durch neutrales Al_2O_3 (Akt. III) aus Aceton-Hexan umkristallisiert wurde (347 mg). Smp. 159-160°. [α]_D = +13° (c = 0,9). UV.-Spektrum: λ_{max} = 247 m μ (log ε = 4,20). IR.-Spektrum (CHCl₃): ν_{max} = 3630, 1663, 1622, 1605 cm⁻¹.

$$C_{19}H_{26}O_2$$
 Ber. C 79,68 H 9,15% Gef. C 79,25 H 9,23%

Oxim von 17-Desacetyl-keton- A_1 (6). 347 mg Hydroxyketon 5 und 600 mg NH₂OH, HCl wurden $2^1/_2$ Std. in 50 ml Äthanol und 12 ml Pyridin auf Rückflusstemperatur erhitzt, die abgekühlte Reaktionslösung darauf auf Wasser gegossen und mit Äther extrahiert. Nach Waschen der organischen Phase mit verd. H₂SO₄, ges. (NH₄)₂SO₄-Lösung und Wasser erhielt man 324 mg Rohprodukt, das nach zweimaliger Kristallisation aus Aceton-Hexan bei 212–214° schmolz. UV.-Spektrum: $\lambda_{max} = 267$ m μ (log $\varepsilon = 4,25$). IR.-Spektrum (Nujol): $\nu_{max} = 3470$, 3270, 1663, 1610 cm⁻¹. NMR.-Spektrum (13% in Pyridin): $\delta = \text{u.a.}$ 0,93/s (3) CH₃-18; 1,88/d/J = 1 Hz (3) CH₃-19.

 ${\rm C_{19}H_{27}O_2N} \qquad {\rm Ber.~~C~75,71} \quad {\rm H~9,03} \quad {\rm C-CH_3} \quad 9,98\% \qquad {\rm Gef.~~C~75,70} \quad {\rm H~9,12} \quad {\rm C-CH_3~10,02\%}$

Tetrahydro-keton- A_1 (7). Die Hydrierung von Keton A_1 (4) in Äthanol-Lösung in Gegenwart von 5-proz. Palladiumkohle-Katalysator lieferte nach Aufnahme von 2 Mol. H_2 und dreimaliger Kristallisation aus Aceton-Hexan ein gegen Tetranitromethan gesättigtes Präparat vom Smp. 105–107°. [α]_D = +4° (c = 0,69). IR.-Spektrum (KBr): ν_{max} = 1728, 1705, 1250 cm⁻¹.

$$C_{21}H_{32}O_3$$
 Ber. C 75,86 H 9,70% Gef. C 75,69 H 9,77%

Benzalverbindung von 17-Desacetyl-keton- A_1 (8). 92 mg Keton A_1 (4) wurden in 25 ml 1n methanolischer KOH-Lösung mit 2 ml frisch dest. Benzaldehyd versetzt und das Gemisch 30 Tage bei Zimmertemperatur stehengelassen. Nach Zugabe von Wasser wurde mit Äther extrahiert und die organische Phase mit 2n NaHSO₃-Lösung, ges. NaHCO₃-Lösung und Wasser gewaschen. Das noch viel Benzaldehyd enthaltende Produkt wurde an neutralem Al₂O₃ (Akt. III) chromatographiert. Benzol-Äther-(20:1)-Gemisch eluierte 105 mg gelbes Öl. UV.-Spektrum: $\lambda_{max} = 256$, 334 m μ (log $\varepsilon = 4$,12, 4,32).

Benzal-oxim-Derivat 9. Eine Lösung von 310 mg öliger Benzalverbindung 8, 500 mg NH₂OH, HCl in 10 ml Pyridin und 35 ml Äthanol wurde $2^{1}/_{2}$ Std. zum Sieden erhitzt, dann auf Wasser gegossen und mit Äther extrahiert. Nach Waschen der organischen Phase mit 2n H₂SO₄, ges. (NH₄)₂SO₄-Lösung und Wasser resultierten 284 mg Rohprodukt; nach dreimaligem Kristallisieren aus Aceton-Hexan, Smp. 264–265° (gelbe Nadeln). $[\alpha]_{D} = +69^{\circ}$ ($\epsilon = 0.73$). UV.-Spektrum: $\lambda_{max} = 262$, 332 m μ ($\log \epsilon = 4.11$, 4.37). IR.-Spektrum (Nujol): $\nu_{max} = 3460$, 3250, 1650, 1600 cm⁻¹. NMR.-Spektrum (7% in Pyridin): $\delta = u$. a. 0.95/s (3) CH₃-18.

 ${\rm C_{26}H_{31}O_{2}N} \quad \ \, {\rm Ber.} \ \, {\rm C} \ \, 80,17 \quad H \ \, 8,02 \quad {\rm C-CH_{3}} \quad 3,86\% \quad \quad {\rm Gef.} \ \, {\rm C} \ \, 80,05 \quad H \ \, 7,94 \quad {\rm C-CH_{3}} \quad 3,77\% \\$

2,4-Dinitrophenylhydrazon der Benzalverbindung von Keton A_1 . 20 mg der Benzalverbindung 8 wurden in Acetanhydrid-Pyridin-(1:1)-Gemisch über Nacht acetyliert und das entstandene 17-O-Acetyl-Derivat mit salzsaurer 2,4-Dinitrophenylhydrazin-Lösung versetzt. Das aus Methylenchlorid-Methanol umkristallisierte Produkt schmolz bei 219-221°. UV.-Spektrum: $\lambda_{max} = 335$, 418 m μ (log $\varepsilon = 4$,22, 4,58).

 $C_{34}H_{36}O_6N_4$ Ber. C 68,44 H 6,08% Gef. C 68,49 H 6,16%

Behandlung von Keton A_1 (4) mit Schwefelsäure in Acetanhydrid. Eine Lösung von 48 mg Keton A_1 (4) in 0,82 ml Acetanhydrid wurde unter Kühlung mit einem Gemisch von 0,41 ml Acetanhydrid und 25 mg konz. H_2SO_4 versetzt und das Gemisch im Dunkeln 4 Std. bei Zimmertemperatur stehengelassen. Die Lösung wurde darauf auf Eis gegossen und nach 1 Std. mit Äther ausgeschüttelt. Man erhielt 47 mg rohe Kri- stalle, die nach einmaligem Umlösen aus Aceton-Hexan bei 141–142° schmolzen (42 mg). Nach Misch-Smp., spez. Drehung und IR.-Spektrum lag O-Acetyl-phenol- B_3 (51) vor.

Pyrolyse von Keton A_1 (4). 170 mg Keton A_1 wurden in einem im Hochvakuum zugeschmolzenen Rohr 2 Std. auf 200° erhitzt. Das nach dem Abkühlen zu Kristallen erstarrte Pyrolysenprodukt wurde aus Aceton-Hexan umkristallisiert und lieferte 148 mg Phenol B_3 (50) vom Smp. 199°. Die Identifizierung erfolgte mittels Misch-Smp. und Vergleich der spez. Drehung, UV.-und IR.-Spektren.

Oxydativer Abbau von Keton A_1 (4). Zu einer Lösung von 4,4 g KMnO₄ in 200 ml Aceton wurden bei 0° 600 mg Keton A_1 (4) in 20 ml Aceton gegeben und die Lösung 24 Std. bei 0° stehengelassen. Das Reaktionsgemisch wurde darauf mit NaHSO₃-Lösung versetzt und aufgearbeitet, wobei 525 mg alkalilösliche Produkte entstanden, die in 100 ml Xylol-Dioxan-(3:1)-Gemisch gelöst und 20 Std. unter Rückfluss gekocht wurden. Die übliche Aufarbeitung lieferte 220 mg neutrale Anteile, die direkt in 20 ml siedender 5-proz. methanolischer KOH-Lösung 2 Std. hydrolysiert wurden. Man erhielt so 150 mg öliges Hydroxyketon 10. IR.-Spektrum (CHCl₃): $v_{max} = 3660$, 1705 cm⁻¹.

Oxim von Hydroxyketon 10. Das aus 10 durch Kochen mit NH₂OH, HCl in Äthanol-Pyridin-(4:1)-Gemisch bereitete Oxim schmolz nach Umlösen aus Aceton-Hexan bei 148°. $[\alpha]_D = +36^\circ$ (c = 0.71). $C_{15}H_{25}O_2N$ Ber. C 71,67 H 10,03% Gef. C 71,64 H 10,04%

Benzalverbindung 11. Eine Lösung von 100 mg Hydroxyketon 10 und 2 ml frisch dest. Benzaldehyd in 20 ml 1N äthanolischer KOH-Lösung wurde 2 Tage bei Zimmertemperatur stehengelassen und darauf auf übliche Weise aufgearbeitet. Man erhielt ein noch viel Benzaldehyd enthaltendes Öl, das an 8 g neutralem Al_2O_3 (Akt. III) chromatographiert wurde. Mit Petroläther-Benzol-(1:1)-Gemisch wurden 131 mg ölige Benzalverbindung 11 eluiert. UV.-Spektrum: $\lambda_{max} = 290 \text{ m}\mu$ (log $\varepsilon = 4,32$).

Oxim von Benzalverbindung 11. Eine Probe von 11 wurde mit NH₂OH, HCl in Äthanol-Pyridin-(4:1)-Gemisch gekocht. Das resultierende Oxim schmolz nach dreimaliger Kristallisation aus Aceton-Hexan bei 195–196°. [α]_D = +96° (ϵ = 0,2). UV.-Spektrum: λ_{max} = 290 m μ (log ϵ = 4,32). IR.-Spektrum (Nujol): ν_{max} = 3580, 3500, 1625 cm⁻¹.

$$C_{22}H_{29}O_2N$$
 Ber. C 77,84 H 8,61% Gef. C 77,80 H 8,56%

Keto-ester 12. Eine Lösung von 85 mg Hydroxyketon 10 in 10 ml Dioxan wurde mit je 2 ml $2\,\mathrm{N}$ wässeriger NaOH und J_2 -Lösung versetzt und 2 Std. bei Zimmertemperatur stehengelassen. Es resultierten 81 mg alkalilösliche, ölige Produkte, die in Äther-Lösung mit $\mathrm{CH}_2\mathrm{N}_2$ verestert und anschliessend in Eisessig-Lösung mit 1 ml $0.1\,\mathrm{N}$ essigsaurer CrO_3 -Lösung versetzt wurden. Nach 12 stdg. Reaktionsdauer bei Zimmertemperatur isolierte man den öligen Keto-ester 12. IR.-Spektrum (CHCl $_3$): $v_{max}=1730-1720$ (breit), 1290 cm $^{-1}$.

2,4-Dinitrophenylhydrazon von Keto-ester 12. Das aus Methylenchlorid umkristallisierte Präparat schmolz bei 169–170°. UV.-Spektrum: $\lambda_{max}=230$, 367 m μ (log $\varepsilon=4,17,4,28$). IR.-Spektrum (KBr): $\nu_{max}=1730$, 1622, 1597 cm⁻¹.

 $C_{21}H_{26}O_6N_4$ Ber. C 58,59 H 6,09 OCH₃ 3,49% Gef. C 58,61 H 6,14 OCH₃ 3,73%

17β-Acetoxy-4-methyl- $\Delta^{1;3;5,10}$ -östratrien (14). – a) Aus Keton A_1 (4). Zu einer siedenden Suspension von 500 mg LiAlH₄ in 15 ml Äther wurde eine Lösung von 260 mg Keton A_1 (4) in 15 ml Dioxan getropft und das Gemisch 12 Std. gekocht. Der Überschuss an Reduktionsmittel wurde mit wenig Essigester zerstört, das Reaktionsgemisch auf 2 N H_2SO_4 gegossen und mit Äther extrahiert. Man isolierte ein öliges Produkt (Allylalkohol 13), das direkt in Acetanhydrid-Pyridin-(1:1)-Gemisch bei Zimmertemperatur über Nacht acetyliert wurde. Das resultierende, kristalline Produkt schmolz nach dem Umlösen aus Methanol und Sublimation im Hochvakuum bei 172–173° (114 mg). [α]_D = +30° (c = 1,02). UV.-Spektrum: λ_{max} = 262 m μ (log ε = 2,25). IR.-Spektrum (CHCl₃): ν_{max} = 1725, 1588, 1248 cm⁻¹.

C₂₁H₂₈O₂ Ber. C 80,73 H 9,03% Gef. C 80,97 H 8,94%

b) Aus O-Acetyl-1-dehydro-testosteron (1). 500 mg Substanz wurden nach dem unter a) beschriebenen Verfahren umgesetzt. Man erhielt 245 mg einer Verbindung, die nach Smp., Mischprobe, spez. Drehung $(+32^{\circ})$ und IR.-Spektrum mit dem aus Keton A_1 (4) erhaltenen Produkt 14 identisch war.

17 β -Hydroxy-4-methyl- $\Delta^{1;3;5,10}$ -östratrien (15). 500 mg der O-Acetyl-Verbindung 14 wurden in 25 ml 0,5 n methanolischer KOH-Lösung 2 Std. unter Rückfluss gekocht. Nach der Aufarbeitung resultierten 420 mg Kristalle, Smp. 113-114° nach Umlösen aus Aceton-Hexan und Sublimation im Hochvakuum bei 100°. $[\alpha]_D = +62^\circ$ (c = 0,72). IR.-Spektrum (CHCl₃): $v_{max} = 3630$, 1585 cm⁻¹. Lit.-Angaben¹¹): Smp. 113-114°; $[\alpha]_D = +64^\circ$ (Dioxan).

4-Methyl-17-oxo- $\triangle^{1;3;5,10}$ -östratrien (16). Eine Lösung von 400 mg des Alkohols 15 in 50 ml abs. Toluol und 10 ml Cyclohexanon wurde mit 500 mg Aluminiumisopropylat versetzt und 4 Std. unter Rückfluss gekocht. Das abgekühlte Reaktionsgemisch wurde darauf in $2 \text{ N H}_2 \text{SO}_4$ gegossen und aufgearbeitet. Zur Entfernung des Cyclohexanons wurde das Rohprodukt einer Wasserdampfdestillation unterworfen und dann durch 4 g neutrales Al_2O_3 (Akt. II) filtriert. Es ergaben sich 296 mg einer Verbindung, Smp. $180-181^\circ$ nach Kristallisation aus Äther-Methanol und Sublimation im Hochvakuum bei 150° . $[\alpha]_D = +150^\circ$ (c=1,0). IR.-Spektrum (CHCl₃): $r_{max} = 1735, 1587 \text{ cm}^{-1}$. Lit.-Angaben¹¹): Smp. $184,5-186^\circ$; $[\alpha]_D = +146^\circ$ (Dioxan).

Dehydrierung von 4-Methyl-17-oxo- $\Delta^{1;3;5,10}$ -östratrien (16). 265 mg Substanz wurden mit derselben Menge 10-proz. Palladiumkohle gemischt und unter Stickstoff auf 350° erhitzt. Die sofort einsetzende Gasentwicklung kam nach wenigen Min. zum Stillstand. Extraktion des Gemisches mit Benzol und Filtration der Lösung durch 3 g neutrales Al_2O_3 (Akt. I) lieferte 194 mg Kristalle, Smp. 115° nach mehrmaligem Umlösen aus Methanol und Sublimation im Hochvakuum bei 90° (105 mg). $C_{18}H_{18}$ Ber. C 92,26 H 7,74% Gef. C 92,25 H 7,86%

Das Produkt wurde anhand der Mischprobe und des UV.-Spektrums [$\lambda_{max} = 254$, 262, 282, 292, 306 m μ ; log $\varepsilon = 4,63$, 4,85, 4,20, 4,18, 4,34] mit authentischem 1-Äthyl-2,8-dimethyl-phenanthren (17) 12) identifiziert.

1,3,5-Trinitrobenzolat von 17. Das bei 164-165° schmelzende Derivat schied sich beim Abkühlen einer heissen Lösung von 17 in methanolischem 1,3,5-Trinitrobenzol in Nadeln aus. Nach Smp. und Mischprobe war die Verbindung mit einem aus authentischem 1-Äthyl-2,8-dimethyl-phenanthren (17) bereiteten Präparat identisch.

D. Umsetzungen mit Keton A₂ (18)

 $Tetrahydro-keton-A_2$ (19) Die Hydrierung von 6 mg Keton A_2 (18) in äthanolischer Lösung in Gegenwart von 5-proz. Palladiumkohle-Katalysator führte nach Aufnahme von 2 Mol. H_2 zu einem Produkt, das nach dreimaliger Kristallisation aus Aceton-Hexan bei 109–112° schmolz und gegen Tetranitromethan gesättigt war. IR.-Spektrum (KBr): $v_{max}=1736$, 1700, 1250 cm $^{-1}$.

Maleinsäureanhydrid-Addukt von Keton A_2 (20). Eine Lösung von 24 mg Keton A_2 (18) und 55 mg frisch subl. Maleinsäureanhydrid in 6 ml abs. Xylol wurde 17 Std. zum Sieden erhitzt und darauf im Wasserstrahlvakuum eingedampft. Der Rückstand wurde im Hochvakuum bei 70° von überschüssigem Maleinsäureanhydrid befreit und wog nach 3 Std. 40 mg. Er enthielt nach Dünnschichtchromatogramm [Fliessmittel: Hexan-Aceton-(4:1)] kein Ausgangsmaterial mehr. Bei der Chromatographie an 4 g Silicagel erhielt man mit Benzol-Äther-(20:1) bis-(9:1)-Gemischen 26 mg Kristalle, Smp. 239–240° nach zweimaliger Kristallisation aus Aceton-Hexan (19 mg). [α]_D = -58° (c = 0.58). UV.-Spektrum: Endabsorption bei 210 mμ (log $\varepsilon = 3.34$). IR.-Spektrum (CHCl₃): $v_{max} = 1870$, 1845 (Schulter), 1785, 1721, 1649, 1255, 832 cm⁻¹, NMR.-Spektrum (5% in CDCl₃): $\delta = 0.81/s$ (3) CH₃-18; 1.82/d/J = 1.6 Hz (3) CH₃-19; 2.03/s (3) 17-OCOCH₃; ca. 4.6/b (1) CH-17; ca. 6.2/m (1) γ-CH (Fig. 3).

Benzalverbindung von Keton A_2 (21). 62 mg Keton A_2 (18) und 1,4 ml frisch dest. Benzaldehyd wurden 6 Tage bei Zimmertemperatur in 20 ml 1N methanolischer KOH-Lösung gehalten. Man goss darauf die Reaktionslösung auf Wasser und extrahierte mit Äther. Die organische Phase

wurde mit 2N NaHSO₃- und ges. NaHCO₃-Lösung sowie mit Wasser gewaschen. Es resultierten 133 mg eines noch stark mit Benzaldehyd verunreinigten Öls, aus welchem durch Chromatographie an neutralem Al₂O₃ (Akt. III) und Elution mit Benzol-Äther-(4:1)-Gemisch 35 mg gelbe Kristalle (17-Desacetyl-Derivat von 21) isoliert werden konnten, die nach Dünnschichtchromatogramm [Fliessmittel: Hexan-Aceton-(3:1)] einheitlich waren. UV.-Spektrum: $\lambda_{max} = 331$, 243 m μ (log $\varepsilon = 4,29$, 3,98), Endabsorption bei 210 m μ (log $\varepsilon = 4,16$).

Das Produkt wurde über Nacht in 7 ml Acetanhydrid-Pyridin-(1:1)-Gemisch bei Zimmertemperatur acetyliert, das Gemisch darauf mit 5 ml Methanol versetzt und im Vakuum zur Trockne eingedampft. Chromatographie des Rückstandes (37 mg) an neutralem Al_2O_3 ergab mit Benzol 12 mg gelbe Kristalle. UV.-Spektrum: $\lambda_{max} = 243$, 331 m μ (log $\varepsilon = 3,98$, 4,29), Endabsorption bei 210 m μ (log $\varepsilon = 4,16$). NMR.-Spektrum (3% in CDCl₃): $\delta = u$. a. 0,76/s (3) CH₃-18; 2,01/s (3) 17-OCOCH₂.

Behandlung von Keton A_2 (18) mit Schwefelsäure in Acetanhydrid. Zu einer Lösung von 17 mg Keton A_2 (18) in 0,27 ml Acetanhydrid wurde unter Kühlung ein Gemisch von 8,4 mg konz. H_2SO_4 und 0,14 ml Acetanhydrid gegeben und das Reaktionsgemisch 4 Std. im Dunkeln bei Zimmertemperatur stehengelassen. Der Ätherextrakt der auf Eis gegossenen Lösung enthielt 16 mg, Smp. 150–151° nach Umlösen aus Aceton-Hexan (13 mg); nach Mischprobe, spez. Drehung und IR.-Spektrum identisch mit O-Acetyl-phenol B_4 (59).

E. Umsetzungen mit Keton A₃ (23)

Dihydro-keton- A_3 (25). Die Hydrierung von Keton A_3 (23) in Äthanol-Lösung in Gegenwart von 5-proz. Palladiumkohle-Katalysator lieferte nach Aufnahme von 1 Mol. H_2 ein gegen Tetranitromethan gesättigtes Präparat vom Smp. 164–165° nach dreimaliger Kristallisation aus Aceton-Hexan. [α]_D = +37° (ϵ = 0,82). UV.-Spektrum: $\lambda_{max}=212$ m μ (log ϵ = 3,78). IR.-Spektrum: $\nu_{max}=1730$, 1712, 1255 cm⁻¹ (KBr); $\nu_{max}=1720$, 1707, 1260 cm⁻¹ (CHCl₃); NMR.-Spektrum (13% in CDCl₃): δ = 0,78/s (3) CH₃-18; 1,18/s (3) CH₃-19; 2,03/s (3) 17-OCOCH₃; ca. 4,6/b (1) CH-17. Rotationsdispersion ²¹): $\alpha_{300\,\text{m}\mu}=+10\,000^\circ$, $\alpha_{310\,\text{m}\mu}=+12\,100^\circ$, $\alpha_{340\,\text{m}\mu}=+2300^\circ$, $\alpha_{400\,\text{m}\mu}=+400^\circ$, $\alpha_{500\,\text{m}\mu}=+200^\circ$.

$$C_{21}H_{30}O_3$$
 Ber. C 76,32 H 9,15% Gef. C 76,24 H 9,12%

Aldehydosäure 26. In eine Lösung von 300 mg Keton A_3 (23) in 30 ml Essigester wurde bei -45° während 40 Min. O_3 (ca. 30 mg/Min.) eingeleitet. Nach dem Einengen der Reaktionslösung im Vakuum auf $^1/_2$ Volumen wurden 20 ml Wasser zugefügt und 2 Std. unter Rückfluss gekocht. Die Aufarbeitung ergab 262 mg NaHCO₃-lösliche Anteile, die an der 100fachen Menge Silicagel chromatographiert wurden. Dabei eluierte Benzol-Äther-(50:1)-Gemisch 144 mg Kristalle, die nach zweimaligem Umlösen aus Aceton-Isopropyläther bei 185–186° (Zers.) schmolzen. $[\alpha]_D = +126^{\circ}$ (c = 0.61). $pK_{MCS}^* = 7.65$. Äquivalentgewicht: ber. 348, gef. 345. IR.-Spektrum (Nujol): $v_{max} = 3320$, 2700 (schwach), 1755–1770 (Schulter), 1735, 1242 cm⁻¹.

$$C_{20}H_{28}O_5$$
 Ber. C 68,94 H 8,10% Gef. C 68,94 H 8,22%

Oxydation der Aldehydosäure 26. 35 mg Aldehydosäure 26 wurden in 5 ml Eisessig gelöst und mit 50 mg Na₂Cr₂O₇ 5 Tage bei Zimmertemperatur stehengelassen. Die Aufarbeitung lieferte 17 mg Kristalle eines neutralen Produktes und 16 mg eines kristallinen, NaHCO₃-löslichen Anteils.

Nach dreimaligem Umkristallisieren aus Hexan schmolz die neutrale Verbindung (*Anhydrid* 28) bei 197–198°. $[\alpha]_D = +83^\circ$ (c=1,02). IR.-Spektrum (KBr): $v_{max} = 1850$, 1775, 1728, 1250 cm^{-1} . $C_{20}H_{28}O_5$ Ber. C 69,34 H 7,57% Gef. C 69,60 H 7,45%

Die sauren Anteile (*Dicarbonsäure* 27) schmolzen nach Umlösen aus Aceton-Isopropyläther bei 201-203° (Zers.). $[\alpha]_D = +70^\circ$ (c = 0.75). $pK_{MCS}^* = 4.16$. Äquivalentgewicht: ber. 364, gef. 350. IR.-Spektrum (KBr): $v_{max} = 1723$, 1690, 1240 cm⁻¹.

Durch kurzes Erhitzen auf 200° lässt sich die Dicarbonsäure 27 in das Anhydrid 28 umwandeln. Hydroxymethylen-Verbindung 29. In eine Lösung von 5,0 g Dihydro-keton A₃ (25) und 60 ml Äthylformiat in 500 ml abs. Benzol, die mittels eines Vibrators kräftig durchgerührt wurde, gab man unter Stickstoff portionenweise 6 g NaH zu. Nach 14 stdg. Vibrieren bei Zimmertemperatur wurde das überschüssige NaH durch Zugabe von 20 ml Methanol zerstört, das Gemisch in Äther aufgenommen und auf Eis gegossen. Die Ätherschicht wurde mit eiskalter 2n NaOH extrahiert und die wässerige Phase mit HCl schwach angesäuert. Die mit Äther ausgeschüttelte kristalline Hydroxymethylen-Verbindung 29 (4,65 g) schmolz nach dreimaligem Umlösen aus Methanol bei 218–219°. FeCl₃-Probe positiv. [α]_D = +58° (ϵ = 1,27 in C₂H₅OH). UV.-Spektrum: λ_{max} = 306 (Schulter), 273 m μ (log ϵ = 3,64, 4,16). Endabsorption bei 210 m μ (log ϵ = 3,62). IR.-Spektrum (Nujol): ν_{max} = 3150–2650 (breit), 1695, 1620, 1605 cm⁻¹.

Hydroxy-dicarbonsäure 30. 1 g Hydroxymethylen-Verbindung 29 wurde in 100 ml 2 n NaOH gelöst, 70 ml Methanol und 25 ml 30-proz. Wasserstoffperoxid zugefügt und die Lösung über Nacht bei Zimmertemperatur stehengelassen. Die eisgekühlte Lösung wurde darauf mit 50-proz. H_2SO_4 schwach angesäuert und mit Wasser auf 1 l verdünnt. Die als weisser Niederschlag ausfallende Säure wurde mit Äther ausgeschüttelt und aus der organischen Lösung mit 2 n Na_2CO_3 -Lösung ausgezogen. Durch vorsichtiges, schwaches Ansäuern des Na_2CO_3 -Auszugs mit eiskalter, 50-proz. H_2SO_4 wurde ein weisser, kristalliner Niederschlag ausgefällt, der sofort in Äther aufgenommen und neutral gewaschen wurde. Es resultierten 920 mg Kristalle vom Smp. 257° nach dreimaligem Umlösen aus Äther. [α]_D = +70° (c = 0,90). pK_{MCS}^* = 6,57, 9,93. UV.-Spektrum: λ_{max} = 215 m μ ($\log \varepsilon$ = 2,81). IR.-Spektrum (CHCl₃): v_{max} = 3350, 3190, 1712, 1680 cm⁻¹. $C_{19}H_{28}O_5$ Ber. C 67,83 H 8,39% Gef. C 67,61 H 8,42%

Hydroxy-dicarbonsäure-dimethylester 31. In eine Lösung von 4,58 g Dicarbonsäure 30 in 1 l Aceton wurde unter Eiskühlung frisch dest. $\mathrm{CH_2N_2}$ eingetropft und die gelbe Lösung über Nacht bei Zimmertemperatur stehengelassen. Nach Abdampfen des Lösungsmittels resultierte ein Öl, das in Ätherlösung durch die 15 fache Menge neutrales $\mathrm{Al_2O_3}$ (Akt. III) filtriert wurde (5,05 g farbloses Öl). UV.-Spektrum: $\lambda_{max}=214$ m μ (log $\varepsilon=2,95$). IR.-Spektrum (CHCl₃): $\nu_{max}=3630$, 1725 cm⁻¹. NMR.-Spektrum (9% in CDCl₃): $\delta=0,78/s$ (3) CH₃-18; 1,23/s (3) CH₃-19; 2,73+2,99/2d/J=17,3 Hz (1:1) CH₂-4⁵¹); 3,64+3,67/2s (6) 2- und 3-OCH₃⁵¹); ca. 3,6/b (1) CH-17.

Ungesättigter Hydroxy-dicarbonsäure-dimethylester 32. 2,80 g des öligen Dicarbonsäure-dimethylesters 31 wurden in 45 ml abs. Methanol gelöst und nach Zugabe von 2,24 g Natriumäthylat erst 3 Std. auf Siedetemperatur erhitzt und darauf über Nacht bei Zimmertemperatur stehengelassen. Die eisgekühlte Lösung wurde mit Wasser verdünnt und mit Äther extrahiert. Man erhielt 1,2 g neutrale, ölige Anteile. Die wässerige, alkalische Phase wurde mit 50-proz. $\rm H_2SO_4$ angesäuert und wieder mit Äther ausgezogen. Es resultierten 1,5 g saure Anteile, die in Aceton-Lösung mit $\rm CH_2N_2$ verestert wurden. Das so erhaltene Rohprodukt wurde zusammen mit den zuerst erhaltenen neutralen Anteilen an der 30fachen Menge neutralem $\rm Al_2O_3$ (Akt. III) chromatographiert. Mit Benzol und Äther wurden 2,515 g Kristalle eluiert, Smp. 116–117° nach dreimaligem Umlösen aus Aceton-Hexan. Tetranitromethan-Probe: gelb. $[\alpha]_D = +38^\circ$ (c=0,77). UV.-Spektrum: $\lambda_{max}=224$ m μ ($\log \varepsilon=4,14$). IR.-Spektrum (CHCl₃): $\nu_{max}=3620$, 1715–1720, 1637 cm⁻¹. NMR.-Spektrum ($12\%_0$ in $\rm CDCl_3$): $\delta=0,77/s$ (3) $\rm CH_3$ -18; 1,25/s (3) $\rm CH_3$ -19; 2,68+2,92/2d/J=13,5 Hz (1+1) $\rm CH_2$ -1⁵¹); 3,58+3,68/2s (3+3) 2- und 3-OCH $_3$ ⁵¹); ca. 3,6/s (1) $\rm CH$ -17; 5,69/s (1) $\rm CH$ -4⁵¹).

$$C_{21}H_{32}O_5$$
 Ber. C 69,20 H 8,85% Gef. C 69,08 H 8,90%

Ungesättigter Acetoxy-dicarbonsäure-dimethylester 33. 750 mg des Dimethylester 32 wurden $6^{1}/_{2}$ Std. bei Zimmertemperatur in 15 ml Pyridin-Acetonhydrid-(1:1)-Gemisch acetyliert. Das resultierende Rohprodukt (890 mg) wurde an der 30fachen Menge neutralem $Al_{2}O_{3}$ (Akt. II) chromatographiert und dabei mit Petroläther-Benzol-(3:1)-Gemisch, Benzol und Benzol-Äther-(9:1)-Gemisch 788 mg Kristalle erhalten, vom Smp. $68-69^{\circ}$ (nach dreimaliger Kristallisation aus Pentan; 555 mg). $[\alpha]_{D} = +40^{\circ}$ (c=0.84). UV.-Spektrum: $\lambda_{max} = 223.5$ m μ (log $\epsilon=4.21$). IR.-Spektrum (CHCl₃): $\nu_{max} = 1725$, 1638, 1260 cm⁻¹. NMR.- Spektrum (11% in CDCl₃): $\delta=.81/s$ (3) CH-18; 1,24/s (3) CH₃-19; 2,03/s (3) 17-OCOCH₃; 2,32+2,89/2d/J = 13.5 Hz (1+1) CH₂-1⁵¹); 3,56+3,67/2s (3+3) 2- und 3-OCH₃⁵¹); ca. 4,6/b (1) CH-17; 5,67/s (1) CH-4⁵¹).

 $C_{23}H_{34}O_6$ Ber. C 67,95 H 8,43% Gef. C 68,05 H 8,46%

⁵¹) Die Numerierung folgt hier der für Steroide üblichen Konvention.

Acetoxy-keto-carbonsäure-methylester 34. 500 mg ungesättigter Acetoxy-dicarbonsäure-dimethylester 33 wurden bei -80° in 50 ml Essigester ozonisiert. Die Reaktionslösung wurde im Vakuum stark eingeengt, mit 100 ml Wasser versetzt und 1 Std. zum Sieden erhitzt. Man erhielt nach der Aufarbeitung 386 mg eines neutralen Öls, aus dem chromatographisch (30fache Menge neutrales Al₂O₃, Akt. II) mit Petroläther-Benzol-(1:1)- und Benzol-Äther-(9:1)-Gemischen 211 mg Kristalle abgetrennt werden konnten; Smp. 134–135° nach zweimaliger Kristallisation aus Aceton-Hexan (195 mg). $[\alpha]_D = +4^{\circ}$ (c = 0.80). IR.-Spektrum (CHCl₃): $v_{max} = 1700-1745$, 1255 cm⁻¹. NMR.-Spektrum (10% in CDCl₃): $\delta = 0.84/s$ (3) CH₃-18; 1,11/s (3) CH₃-19; 2,04/s (3) 17-OCOC H₃; 2,46+2, 97/2d/J = 14 Hz (1+1) CH₂-1⁵¹); 3,60/s (3) 2-OCH₃⁵¹); ca. 4,6/b (1) CH-17. C₂₀H₃₀O₅ Ber. C 68,54 H 8,63% Gef. C 68,57 H 8,73%

 $Hydroxy\text{-}keto\text{-}carbons\"{a}ure$ 35. 217 mg Acetoxy-keto-carbons\"{a}ure-methylester 34 wurden 2 Std. mit 12 ml siedender 5-proz. methanolischer KOH-Lösung behandelt. Die Reaktionslösung wurde auf Wasser gegossen, mit 50-proz. H_2SO_4 unter Eiskühlung anges\"{a}uert und mit Äther 204 mg Kristalle extrahiert. Smp. 191–192° nach dreimaliger Kristallisation aus Aceton-Hexan (152 mg). [α] $_D=-12^\circ$ (c=0.55 in C_2H_5OH). pK $^*_{MCS}=7.22$. IR.-Spektrum (Nujol): $v_{max}=3440,\ 3220,\ 1746,\ 1702$ (Schulter) cm $^{-1}$.

$$C_{17}H_{26}O_4$$
 Ber. C 69,36 H 8,90% Gef. C 69,34 H 8,93%

Acetoxy-keto-carbonsäure **36**. 119 mg Hydroxy-keto-carbonsäure **35** wurden über Nacht bei Zimmertemperatur in je 1,2 ml Acetanhydrid und Pyridin acetyliert. Das resultierende Rohprodukt wurde dreimal aus Aceton-Hexan umkristallisiert. Smp. 177–178° (82 mg). $[\alpha]_D = -45^\circ$ (c = 0,63). pK $^*_{MCS} = 7,05$. IR.-Spektrum (CHCl $_{9}$): $\nu_{max} = 3600$, 1765, 1723, ca. 1705 (leichte Schulter), 1260 cm $^{-1}$. NMR.-Spektrum (9% in CDCl $_{9}$): $\delta = 0,83/s$ (3) CH $_{3}$ -18; 1,17/s (3) CH $_{3}$ -19; 2,04/s (3) 17-OCOCH $_{3}$; 2,27 + 2,82/2d/J = 16 Hz (1+1) CH $_{3}$ -1 51); ca. 4,6/b (1) CH-17.

$$C_{19}H_{28}O_5$$
 Ber. C 67,83 H 8,39% Gef. C 67,82 H 8,42%

Behandlung der Acetoxy-keto-carbonsäure 36 mit Natriumacetat in Acetanhydrid. 89 mg Substanz und 60 mg Natriumacetat wurden unter N_2 2 Std. mit 15 ml siedendem Acetanhydrid behandelt. Das Reaktionsgemisch wurde auf Eiswasser gegossen, mit Äther extrahiert und die organische Phase mit NaHCO₃-Lösung und Wasser gewaschen. Das kristalline Rohgemisch chromatographierte man an der 30fachen Menge neutralem Al_2O_3 (Akt. III), wobei mit Petroläther-Benzol-(1:1)-Gemisch 39 mg kristallines O-Acetyl-enol-y-lacton 38 eluiert wurden, Smp. 122–123° nach einmaligem Umlösen aus Aceton-Hexan (30 mg) und Sublimation im Hochvakuum bei 120°. Tetranitromethan-Probe: gelb. $[\alpha]_D = -23^\circ$ (c=0,82). UV.-Spektrum: Endabsorption bei 210 m μ ($\log \varepsilon = 3,67$). IR.-Spektrum (CHCl₃): $\nu_{max} = 1802$, 1724, 1699, 1258 cm⁻¹. NMR.-Spektrum (13% in CDCl₃): $\delta = 0,83/s$ (3) CH₃-18; 1,27/s (3) CH₃-19; 2,05/s (3) 17-OCOCH₃; 2,09+2,58/2d/J = 16 Hz (1+1) CH₂-1⁵¹); ca. 4,6/b (1) CH-17; ca. 5,35/b (1) CH-6 (Fig. 6).

Mit Benzol und Benzol-Äther-(19:1)-Gemisch erhielt man 17 mg kristallines Di-O-Acetyl- γ -lactol 37. Smp. nach zweimaliger Kristallisation aus Aceton-Hexan (15 mg): 211–212°. $[\alpha]_{\rm D}=-62^\circ$ (c=0,66). IR.-Spektrum (CHCl₃): $\nu_{max}=1792$, 1770, 1728, 1260, 1198, 1169 cm⁻¹. NMR.-Spektrum (8% in CDCl₃): $\delta=0.81/s$ (3) CH₃-18; 1,18/s (3) CH₃-19; 2,04+2,10/2s (3+3) 5- und 17-OCOCH₃; 2,16+2,68/2d/J = 17 Hz (1+1) CH₂-1⁵¹); ca. 4,6/b (1) CH-17.

Hydroxy-keto-carbonsäure-methylester 39. – a) Aus Acetoxy-keto-carbonsäure-methylester 34. 10 mg Substanz wurden 10 Std. bei Zimmertemperatur in 1 ml ges. methanolischer $\rm K_2CO_3$ -Lösung belassen. Nach der üblichen Aufarbeitung resultierten 5 mg Öl, das nach Dünnschicht-chromatogramm [Fliessmittel: Hexan-Aceton-(3:1)] einheitlich war. IR.-Spektrum (CHCl₃): $\nu_{max} = 3590$, 1730, 1707 cm⁻¹.

b) Aus O-Acetyl-enol- γ -lacton 38. Eine Lösung von 37 mg Substanz in 1,1 ml abs. Methanol wurde mit 1,7 ml einer Lösung von 87 mg Na in 25 ml abs. Methanol versetzt und unter N_2 $2^1/_2$ Std. zum Sieden erhitzt. Die Reaktionslösung wurde auf Eis gegossen, rasch mit Äther extrahiert und die organische Phase mit Eiswasser neutral gewaschen. Man erhielt 28 mg Öl, das nach Dünnschichtchromatogramm [Fliessmittel: vgl. a)] und IR.-Spektrum mit dem unter a) erhaltenen Produkt identisch war.

Acetylierung des Hydroxy-keto-carbonsäure-methylesters 39. 28 mg Substanz wurden 6 Std. bei Zimmertemperatur mit je 1 ml Acetanhydrid und 1 ml Pyridin behandelt. Nach Zugabe von etwas Methanol wurde die Reaktionslösung im Vakuum eingedampft und der Rückstand in Ätherlösung durch neutrales $\mathrm{Al_2O_3}$ (Akt. III) filtriert. Nach Kristallisation des resultierenden Produktes aus Aceton-Hexan (27 mg) betrug der Smp. 133–134°. Nach Mischprobe und IR.-Spektrum lag Acetoxy-keto-carbonsäure-methylester 34 vor.

F. Umsetzungen mit Keton A₄ (44)

Dihydro-keton- A_4 (45). Die Hydrierung von Keton A_4 (44) in äthanolischer Lösung in Gegenwart von 5-proz. Palladiumkohle-Katalysator lieferte nach Aufnahme von 1 Mol. H_2 ein gegen Tetranitromethan gesättigtes Präparat vom Smp. 156–157° (dreimal aus Aceton-Hexan umkristallisiert). $[\alpha]_D = -69^\circ$ (c=0.27). IR.-Spektrum (KBr): $\nu_{max} = 1725$, 1713, 1260 cm⁻¹. UV.-Spektrum: $\lambda_{max} = 212$ m μ (log $\varepsilon = 3.68$).

Benzalverbindung von 17-Desacetyl-keton- A_4 (46). 50 mg Keton A_4 (44) wurden in 15 ml 1N methanolischer KOH-Lösung gelöst und mit 1 ml frisch destilliertem Benzaldehyd versetzt. Nach einer Reaktionsdauer von 24 Std. bei Zimmertemperatur wurde Wasser zugegeben, mit Äther ausgeschüttelt und die ätherische Lösung mit 2N NaHSO₃-Lösung, ges. NaHCO₃-Lösung und Wasser gewaschen. Das noch viel Benzaldehyd enthaltende Rohprodukt wurde an 6 g neutralem Al_2O_3 (Akt. III) chromatographiert, wobei mit Benzol und Benzol-Äther-(9:1)-Gemisch 42 mg Kristalle eluiert wurden, Smp. 196–197° nach dreimaligem Umlösen aus Aceton-Hexan (27 mg). [α]_D = + 325° (ϵ = 1,05). UV.-Spektrum: λ_{max} = 236, 337 m μ (log ϵ = 3,94, 4,42), Endabsorption bei 210 m μ (log ϵ = 3,98). IR.-Spektrum: ν_{max} = 3620, 1674, 1625, 1585, 1564 cm⁻¹. NMR.-Spektrum (6% in CDCl₃): δ = 0,76/s (3) CH₃-18; 2,36/2 d/J = ca. 1,5 Hz (1) + 2,63/d/J = 5 Hz (1) Cyclopropylprotonen; ca. 3,7/b (1) CH-17; 5,64/d/J = ca. 1 Hz (1) α -H; 7,11/s (2) Ph-CH=CH-; ca. 7,2-7,7/b (5) aromat. H.

Ketosäure 47. In eine Lösung von 150 mg Keton A_4 (44) in 30 ml Essigester wurde 40 Min. bei -45° ein O_3 -Strom (ca. 30 mg/Min.) eingeleitet. Nach dem Einengen der Lösung im Vakuum auf das halbe Volumen wurde sie mit 20 ml Wasser versetzt und 2 Std. unter Rückfluss gekocht. Die Aufarbeitung ergab 130 mg NaHCO $_3$ -lösliche Anteile, die an 12 g Silicagel chromatographiert wurden. Man erhielt mit Benzol-Äther-(50:1)-Gemisch 72 mg Kristalle, die nach Umlösen aus Aceton-Hexan bei 132–133° schmolzen. [α] $_D=+33^\circ$ (c=0.74). pK $_{MCS}^*=7.09$. Äquivalentgewicht: ber. 348, gef. 349. IR.-Spektrum (Nujol): $\nu_{max}=3420$, 1740–1705 (breit), 1680, 1255 cm $^{-1}$. $C_{20}H_{28}O_5$ Ber. C 68,94 H 8,10% Gef. C 68,92 H 7,84%

 $O ext{-}Acetyl-\gamma ext{-}lactol$ 48. Man versetzte eine Lösung von 40 mg Ketosäure 47 in 8 ml Acetanhydrid mit 40 mg wasserfreiem Natriumacetat und erhitzte 90 Min. auf Siedetemperatur. Nach beendeter Reaktion goss man die Lösung auf Eiswasser und extrahierte mit Äther. Die in 2 Na $_2$ CO $_3$ -Lösung unlöslichen Anteile wurden in Äther durch Silicagel filtriert, wobei man 39 mg Kristalle erhielt, Smp. 138–139° nach dreimaligem Umlösen aus Aceton-Hexan (16 mg). $[\alpha]_D = -45^\circ$ (c=0.93). IR.-Spektrum (CHCl $_3$): $v_{max}=1790$, 1733, 1260 cm $^{-1}$.

Enol-γ-lacton 49. 27 mg des O-Acetyl-γ-lactons 48 wurden zweimal im Hochvakuum bei 110–120° unter anfänglicher Zersetzung sublimiert. Das Pyrolysenprodukt (20 mg) schmolz bei 159–160°. Tetranitromethan-Probe: gelb. $[\alpha]_{\rm D}=-103$ ° (c=0,98). UV.-Spektrum: Endabsorption bei 210 m μ (log $\varepsilon=3,88$). IR.-Spektrum (CHCl₃): $\nu_{max}=1792,1728,1675,1262$ cm⁻¹.

$$C_{20}H_{26}O_4$$
 Ber. C 72,70 H 7,93% Gef. C 72,74 H 7,96%

G. Umsetzungen mit Phenol B₃ (50)

2,17-Diacetoxy-4-methyl- $\Delta^{1;3;5,10}$ -östratrien (51). Das durch Acetylierung von Phenol B₃ (50) in Acetanhydrid-Pyridin-(1:1)-Gemisch bei Zimmertemperatur über Nacht bereitete Präparat schmolz nach dem Umlösen aus Aceton-Hexan bei 141–142°. [α]_D = +46° (c = 0,78).

UV.-Spektrum: $\lambda_{max}=269 \text{ m}\mu \text{ (log } \varepsilon=2,78)$, Endabsorption bei 208 m μ (log $\varepsilon=4,15$). IR.-Spektrum (KBr): $\nu_{max}=1766$, 1732, 1603, 1255, 1195 cm⁻¹. Lit.-Angaben³³): Smp. 129–130°.

$$C_{23}H_{30}O_4$$
 Ber. C 74,56 H 8,16% Gef. C 74,66 H 8,17%

2,17-Dihydroxy-4-methyl- $\Delta^{1;3;5,10}$ -östratrien (**52**). 500 mg Phenol B₃ (**50**) wurden 2 Std. in 25 ml 0,5 n methanolischer KOH-Lösung gekocht. Es resultierte ein Produkt, das nach Kristallisation aus Aceton-Hexan bei 247-248° schmolz. [α]_D = +73° (c = 0,68 in C₂H₅OH). IR.-Spektrum (CHCl₃): v_{max} = 3410, 1612, 1597 cm⁻¹. Lit.-Angaben³³): Smp. 248-250°.

$$C_{19}H_{26}O_2$$
 Ber. C 79,68 H 9,15% Gef. C 79,41 H 9,02%

2-Hydroxy-4-methyl-17-oxo- $\Delta^{1;3;5,10}$ -östratrien (53). 350 mg des Hydroxyphenols 52 wurden in 50 ml abs. Toluol und 10 ml Cyclohexanon gelöst und nach Zusatz von 400 mg Aluminiumisopropylat 4 Std. unter Rückfluss gekocht. Das abgekühlte Gemisch wurde auf 2n H₂SO₄ gegossen und aufgearbeitet. Anschliessend entfernte man das Cyclohexanon mittels Wasserdampfdestillation und kristallisierte das Rohprodukt aus Aceton-Hexan um. Smp. 222–223° nach Sublimation im Hochvakuum bei 180°. [α]_D = +144° (c=0.77). IR.-Spektrum (CHCl₃): $v_{max}=3600$, 1732, 1610 cm⁻¹. Lit.-Angaben³³): Smp. 224°.

$$C_{19}H_{24}O_2$$
 Ber. C 80,24 H 8,51% Gef. C 79,84 H 8,43%

2-Methoxy-4-methyl-17-oxo- $\Delta^{1;3;5,10}$ -östratrien (54). Einer Lösung von 330 mg Ketophenol 53 in 10 ml Äthanol wurden in der Siedehitze abwechslungsweise in 2-ml-Portionen je 20 ml 50-proz. wässerige KOH-Lösung und (CH₃)₂SO₄ zugesetzt. Man erhielt ein Rohprodukt, das in Benzol durch 3 g neutrales Al₂O₃ (Akt. II) filtriert wurde. Es resultierten 310 mg eines aus Äther-Methanol kristallisierenden Präparates, das im Hochvakuum bei 100° sublimiert wurde. Smp. 132–133°. [α]_D = +159° (c = 0,80). IR.-Spektrum (CHCl₃): v_{max} = 1727, 1610, 1592 cm⁻¹.

2-Methoxy-4-methyl-17-oxo- $\Lambda^{1;8;5,10;6;8-14}$ β-östrapentaen (55). Ein Gemisch von je 110 mg der Verbindung 54 und 10-proz. Palladiumkohle wurde 10 Min. unter N₂ auf 150° erhitzt. Extraktion mit Benzol lieferte 100 mg gelbes Öl, das an 4 g neutralem Al₂O₃ (Akt. I) chromatographiert wurde. Durch Elution mit Benzol erhielt man 49 mg Kristalle, die nach mehrmaligem Umlösen aus Methanol und Sublimation im Hochvakuum bei 100° einen Smp. von 137° aufwiesen. [α]_D = +140° (c=0,66). UV.-Spektrum: $\lambda_{max}=238,286,296,320,335$ m μ (log $\varepsilon=4,95,3,87,3,80,3,363,44$). IR.-Spektrum (CHCl₃): $\nu_{max}=1732,1620$ cm⁻¹.

6-Methoxy-1-äthyl-2, 8-dimethyl-phenanthren (56). Eine Mischung von 200 mg der Verbindung 54 und 250 mg 10-proz. Palladiumkohle wurde 10 Min. unter N_2 auf 350° erhitzt, wobei eine stürmische Gasentwicklung zu beobachten war. Das mit Benzol extrahierte Öl wurde an 5 g neutralem Al_2O_3 (Akt. II) chromatographiert. Mit Petroläther-Benzol-(1:1)-Gemisch isolierte man 88 mg Kristalle, die aus Methanol umgelöst und im Hochvakuum bei 100° sublimiert wurden. Smp. 125°. UV.-Spektrum: λ_{max} 264, 279, 300, 312, 356 m μ (log $\varepsilon=4$,76, 4,39, 4,12, 4,16, 3,25, 3,24). $C_{10}H_{20}O$ Ber. C 86,32 H 7,62% Gef. C 86,16 H 7,66%

Überführung von 56 in 1-Åthyl-2,8-dimethyl-phenanthren (17). 1,2 g Pyridin-hydrochlorid wurden im Ölbad geschmolzen und durch Erhitzen auf 190° getrocknet. Nach dem unter Feuchtigkeitsausschluss erfolgten Abkühlen wurden 45 mg des Methoxyphenanthrens 56 zugesetzt und das Gemisch $2^1/2$ Std. auf 210-220° erhitzt. Die abgekühlte Schmelze wurde in Wasser aufgenommen und aufgearbeitet. Es resultierten 40 mg eines kristallinen Phenanthrols (57), das direkt mit 60 mg Zn-Staub, 60 mg NaCl und 300 mg ZnCl2 gemischt und bei 210° geschmolzen wurde. Die Schmelze wurde unter Rühren 15 Min. bei 280° gehalten, dann abgekühlt, mit 2 N HCl versetzt und aufgearbeitet. Man filtrierte das Rohprodukt in Petroläther-Lösung durch 200 mg neutrales Al_2O_3 (Akt. II) und erhielt so nach Umlösen aus Methanol Kristalle vom Smp. 114-115°, die nach Mischprobe und UV.-Spektrum mit authentischem 1-Äthyl-2,8-dimethyl-phenanthren (17) 12) identifiziert wurden. Ebenso stimmte das 1,3,5-Trinitrobenzolat des Reduktionsproduktes nach Smp. (164-165°) und Mischprobe mit dem Derivat aus 17 überein.

H. Umsetzungen mit Phenol B₄ (58)

4,17β-Diacetoxy-2-methyl- $\Delta^{1;3;5,10}$ -östratrien (59). Das durch Acetylierung von Phenol B₄ (58) in Acetanhydrid-Pyridin-(1:1)-Gemisch bei Zimmertemperatur über Nacht bereitete Präparat schmolz nach dreimaligem Umlösen aus Aceton-Hexan bei 150–151°. [α]_D = +54° (c = 0,65). UV.-Spektrum: λ_{max} = 268 m μ (log ε = 2,80), Endabsorption bei 207 m μ (log ε = 4,10). IR.-Spektrum (KBr): ν_{max} = 1766, 1729, 1618, 1571, 1240, 1205 cm⁻¹.

$$C_{23}H_{30}O_4$$
 Ber. C 74,56 H 8,16% Gef. C 74,44 H 8,33%

4,17β-Dihydroxy-2-methyl- $\Delta^{1;3;5,10}$ -östratrien (60). 370 mg Phenol B₄ (58) wurden 2 Std. in 20 ml 0,5 N methanolischer Lösung unter Rückfluss gekocht. Die nach der Aufarbeitung aus Aceton-Petroläther anfallenden Kristalle schmolzen bei 152°. [α]_D = +77° (c = 0.71). IR.-Spektrum (Nujol): ν_{max} = 3507, 1618, 1589 cm⁻¹.

4-Hydroxy-2-methyl-17-oxo- $\Delta^{1;3;5,10}$ -östratrien (61). 290 mg der Dihydroxyverbindung 60 wurden in 38 ml abs. Toluol und 9 ml Cyclohexan gelöst, 400 mg Aluminiumisopropylat zugegeben und das Gemisch 4 Std. zum Sieden erhitzt. Das abgekühlte Gemisch wurde auf 2 n H₂SO₄ gegossen und aufgearbeitet. Anschliessend entfernte man das Cyclohexan mittels Wasserdampfdestillation und kristallisierte das Rohprodukt aus Aceton-Hexan um. Smp. 221–224°. [α]_D = +166° (c=0.73). IR.-Spektrum (CHCl₃): $v_{max}=3612$, 1728, 1618, 1584 cm⁻¹.

4-Methoxy-2-methyl-17-oxo- $\Delta^{1;3;5,10}$ -östratrien (62). Eine Lösung von 240 mg Ketophenol 61 in 10 ml Äthanol wurde in der Siedehitze abwechslungsweise mit 2-ml-Portionen von je 15 ml 50-proz. wässeriger KOH-Lösung und (CH₃)₂SO₄ versetzt. Das resultierende Rohprodukt schmolz nach Filtration durch neutrales Al₂O₃ (Akt. II) in Benzol-Lösung und Kristallisation aus Methanol bei 145°. [α]_D = +157° (c = 1,25). IR.-Spektrum (CHCl₃): v_{max} = 1730, 1614, 1584 cm⁻¹.

Dehydrierung von 4-Methoxy-2-methyl-17-oxo- $\Delta^{1;3;5,10}$ -östratrien (62). 83 mg der Verbindung 62 wurden mit 103 mg 10-proz. Palladiumkohle vermengt und das Gemisch unter N_2 15 Min. auf 312° erhitzt. Durch Extraktion mit heissem Benzol erhielt man 73 mg eines farblosen Öls, das an 2,5 g neutralem Al_2O_3 (Akt. II) chromatographiert wurde. Mit Petroläther-Benzol-(10:1)-Gemisch wurden zunächst 10 mg kristallines 8-Methoxy-1-äthyl-2,6-dimethyl-phenanthren (63) eluiert, das nach Umlösen aus Methanol und Sublimation im Hochvakuum bei 130-131° schmolz. UV.-Spektrum: Endabsorption bei 222 m μ (log $\varepsilon = 4,12$); $\lambda_{max} = 259$, 300, 312, 338, 346, 354 m μ (log $\varepsilon = 4,20$, 3,69, 3,71, 2,83, 2,48, 2,82). IR.-Spektrum (CHCl₃): $\nu_{max} = 1618$, 1600, 1266 cm⁻¹.

Beim weiteren Eluieren mit dem gleichen Lösungsmittelgemisch isolierte man 14 mg einer zweiten kristallinen Verbindung, die nach Umlösen aus Äther-Methanol bei 125° schmolz. Durch Mischprobe und Vergleich der spez. Drehung ($[\alpha]_D = +150^\circ$) und der UV.- und IR.-Spektren konnte das Präparat als das weiter unten beschriebene 4-Methoxy-2-methyl-17-oxo- $\Delta^{1:8;5,10;6:8}$ -14 β -östrapentaen (64) identifiziert werden.

 2α -Methyl-19-nor-testosteron (66). Eine Lösung von 1,94 g 19-Nor-testosteron (65) 37) in 60 ml abs. Benzol wurde nach Zugabe von 2 ml Diäthyloxalat und 1,4 g NaH 24 Std. bei Zimmertemperatur vibriert. Nach Zerstörung des überschüssigen NaH mit wenig Methanol wurden je 200 ml Wasser und Äther hinzugefügt und die organische Phase zweimal mit je 50 ml eiskalter verd. NaOH ausgeschüttelt. Die vereinigten wässerigen Extrakte wurden mit verd. H_2SO_4 angesäuert und mit Äther extrahiert. Es resultierten 2,20 g des öligen 2-Äthoxalyl-Derivates von 65.

Zur Methylierung wurde das rohe Produkt in 50 ml abs. Aceton gelöst und mit 2,2 g wasserfreiem K_2CO_3 und 10 ml CH_3J 24 Std. unter Rückfluss gekocht. Nach Zusatz weiterer 0,6 g K_2CO_3 und 3 ml CH_3J wurde nochmals 24 Std. gekocht. Darauf verdünnte man das Reaktionsgemisch mit Wasser und erhielt nach der Aufarbeitung 1,8 g amorphes 2-Äthoxalyl-2-methyl-19-nor-testosteron.

Nach sorgfältiger Trocknung wurde dieses rohe Derivat zu einer Lösung von 0.5 g Na in 50 ml abs. Äthanol hinzugefügt und die Reaktionslösung 3 Tage bei Zimmertemperatur unter N_2 stehengelassen. Man dampfte darauf das Lösungsmittel weitgehend im Vakuum ein, nahm den

Rückstand in Äther und Wasser auf und wusch die organische Phase mit $2_{\rm N}$ wässeriger NaOH-Lösung. Es fielen so 1,1 g eines neutralen Rohproduktes an, das an der 28fachen Menge neutralem ${\rm Al_2O_3}$ (Akt. II) chromatographiert wurde. Mit Benzol wurden 0,8 g Kristalle eluiert, die nach zweimaligem Umlösen aus Äther-Hexan bei 173° schmolzen. $[\alpha]_{\rm D}=+88^\circ$ (c=0.89). UV.-Spektrum: $\lambda_{max}=241~{\rm m}\mu~({\rm log}~\varepsilon=4.17)$. IR.-Spektrum (CHCl₃): $\nu_{max}=3630$, 1666, 1625 cm⁻¹. Lit.-Angaben³⁹): Smp. 176–178°, $[\alpha]_{\rm D}=+93^\circ$.

$$C_{19}H_{28}O_2$$
 Ber. C 79,12 H 9,79% Gef. C 78,94 H 9,75%

 17β -Hydroxy-2α-methyl- Δ^4 -19-nor-androsten (68). 1,21 g des Hydroxyketons 66 wurden in 9 ml Eisessig gelöst und nach Zugabe von 0,62 ml Äthylen-dithioglykol und 0,62 ml BF₃-Ätherat 20 Std. bei Zimmertemperatur stehengelassen. Dann wurde das Gemisch in Äther aufgenommen, die organische Phase mit verd. Na₂CO₃-Lösung gewaschen und aufgearbeitet. Man erhielt 1,65 g öliges Thioketal 67.

Zu einer Suspension dieses Thioketals (1,65 g) in 20 ml abs. Äther und 75 ml flüssigem NH₃ wurde unter kräftigem Vibrieren während 10 Min. 1,65 g Na in kleinen Stücken hinzugefügt. Nach weiterem Vibrieren während 45 Min. wurde das überschüssige Na durch Zusatz von 4 ml Äthanol zerstört und das NH₃ bei Zimmertemperatur verdampft. Der Rückstand wurde in Äther und Wasser aufgenommen und aufgearbeitet. Man erhielt 1,08 g Rohprodukt, aus welchem durch Chromatographie an der 25fachen Menge neutralem Al₂O₃ (Akt. II) 1,00 g Kristalle abgetrennt werden konnten, Smp. 106° nach einmaligem Umlösen aus Methanol-Wasser und Sublimation im Hochvakuum bei 90°. [α]_D = +45° (c = 0,48). IR.-Spektrum (CHCl₃): v_{max} = 3640 cm⁻¹.

4,17-Dioxo-2α-methyl-19-nor-5α-androstan (70). Eine Lösung von 0,34 g LiAlH₄ in 30 ml abs. Äther wurde während 10 Min. langsam zu einer unter N₂ gehaltenen, kräftig gerührten Lösung getropft, die aus 0,7 g ungesättigtem Alkohol 68 und 1,05 ml BF₃-Ätherat in 30 ml Äther bestand. Das Rühren wurde noch 45 Min. fortgesetzt, anschliessend das überschüssige LiAlH₄ durch Zugabe von ges. Na₂SO₄-Lösung zerstört, das Reaktionsgemisch in Äther aufgenommen und die über wasserfreiem Na₂SO₄ getrocknete Lösung eingedampft. Der Rückstand wurde in 30 ml Tetrahydrofuran gelöst und nach Zugabe von 30 ml einer 2 m methanolischen KOH-Lösung sowie von 4 ml 30-proz. H₂O₂-Lösung 2 Std. bei Zimmertemperatur stehengelassen. Nach Abdampfen des Lösungsmittels wurde der Rückstand in Äther aufgenommen und nach der Aufarbeitung 0,73 g eines kristallinen Gemisches der diastereomeren Dihydroxy-Verbindungen (vgl. 69) vom Smp. 129-135° erhalten.

Das Gemisch wurde ohne weitere Reinigung in 35 ml Eisessig gelöst, mit einer Lösung von 0,6 g CrO₃ in 60 ml 90-proz. Essigsäure versetzt und über Nacht bei Zimmertemperatur stehengelassen. Nach der üblichen Aufarbeitung erhielt man 570 mg Rohprodukt, das an der 25fachen Menge neutralem Al₂O₃ (Akt. II) chromatographiert wurde. Mit Petroläther-Benzol-(1:1)-Gemisch und Benzol wurden 0,50 g Kristalle eluiert, Smp. 171–173° nach zweimaligem Umlösen aus Äther-Hexan und Sublimation im Hochvakuum bei 160°. [α]_D = +121° (c = 1,24). IR.-Spektrum (CHCl₃): v_{max} = 1735, 1708 cm⁻¹.

4-Methoxy-2-methyl-17-oxo- $\Delta^{1;3;5,10;6;8}$ -14β-östrapentaen (64). 260 mg des Diketons 70 wurden mit 405 mg 10-proz. Palladiumkohle vermengt und unter N_2 13 Min. auf 350° erhitzt. Durch Extraktion mit heissem Benzol erhielt man 155 mg Kristalle, die an der 100fachen Menge saurem Silicagel⁵²) chromatographiert wurden. Mit Benzol wurden 88 mg amorphes 4-Hydroxy-2-methyl-17-oxo- $\Delta^{1;3;5,10;6:8}$ -14β-östrapentaen [$\lambda_{max} = 300$, 314, 330 m μ (log $\varepsilon = 3,59$, 3,45, 3,27); $\nu_{max} = 3240$, 1715 (breit), 1635, 1610, 1580 cm⁻¹ (Nujol)] eluiert.

Zur Methylierung wurden 55 mg dieses rohen Ketophenols in 4 ml Äthanol gelöst und bei Siedetemperatur abwechslungsweise mit je 5 0,9-ml-Portionen 40-proz. KOH-Lösung und $(CH_3)_2SO_4$ versetzt. Nach der üblichen Aufarbeitung erhielt man 48 mg eines roten Öls, das an 1,5 g neutralem Al_2O_3 (Akt. II) chromatographiert wurde. Mit Petroläther-Benzol-(3:1)-Gemisch wurden 11 mg Kristalle eluiert, die nach Umkristallisieren aus Äther-Methanol bei 125° schmol-

⁵²) Vgl. H. Brockmann & H. Muxfeldt, Chem. Ber. 89, 1379 (vgl. 1393) (1956).

zen. Das Analysenpräparat wurde im Hochvakuum bei 120° sublimiert. [α]_D = +146° (c=0,41). UV.-Spektrum: $\lambda_{max}=233$, 296 m μ (log $\varepsilon=4,90$, 3,90). IR.-Spektrum (CHCl₃): $\nu_{max}=1735$, 1632, 1610, 1585 cm⁻¹.

 $C_{20}H_{22}O_2$ Ber. C 81,60 H 7,53% Gef. C 81,53 H 7,64%

I. Zum Abbau von Testosteron zum O-Acetyl-enol-γ-lacton 40

Die inzwischen von Atwater ²⁷) beschriebene Verbindung **40** wurde, ausgehend von 2-Formyltestosteron ⁵³), auf dem folgenden Weg hergestellt:

 17β -Acetoxy- Δ^4 -2, 3-seco-androsten-2, 3-disäure-dimethylester. 3 g Formyltestosteron wurden über Nacht bei Zimmertemperatur in 300 ml 2n NaOH und 75 ml 30-proz. H_2O_2 gehalten. Nach der üblichen Aufarbeitung wurden im sauren Teil 2,5 g rohe Kristalle der 17β -Hydroxy- Δ^4 -2, 3-seco-androsten-2, 3-disäure⁵³) erhalten.

Das gesamte Rohprodukt wurde direkt in 500 ml Aceton gelöst und mit Diazomethan über Nacht bei Zimmertemperatur stehengelassen. Nach dem Eindampfen der Lösung wurde der Rückstand in Ätherlösung durch die 10fache Menge neutrales Al_2O_3 (Akt. III) filtriert. Man erhielt 3,03 g rohen, kristallinen 17 β -Hydroxy- Δ^4 -2,3-seco-androsten-2,3-disäure-dimethylester ⁵⁴).

Nach der direkten Acetylierung des rohen Kristallisates in je 30 ml Pyridin und Acetanhydrid wurde das angefallene Produkt an 100 g neutralem Al $_2$ O $_3$ (Akt. II) chromatographiert. Mit Petroläther-Benzol-(4:1 und 1:1)-Gemisch und mit Benzol wurden 1,455 g kristalliner 17β -Acetoxy- Δ^4 -2, 3-seco-androsten-2,3-disäure-dimethylester eluiert. Smp. nach dreimaliger Kristallisation aus Aceton-Hexan: 111–111,5°. Die Mischprobe mit dem 10α -Epimeren 33 zeigte Depression des Smp. [α]_D = +79° (c = 0,54). UV.-Spektrum: λ_{max} = 223,5 m μ (log ε = 4,10). IR.-Spektrum (CHCl $_3$): ν_{max} = 1721, 1638, 1260 cm $^{-1}$. NMR.-Spektrum (9% in CDCl $_3$): δ = 0,83/s (3) CH $_3$ -18; 1,18/s (3) CH $_3$ -19; 2,04/s (3) 17-OCOCH $_3$; 2,59/s (2) CH $_2$ -1; 3,68/s (6) 2- und 3-OCH $_3$; ca. 4,6/b (1) CH-7: 5,74/breites s (1) CH-4.

$$C_{23}H_{34}O_{6}$$
 Ber. C 67,95 H 8,43% Gef. C 68,01 H 8,52%

 $5\text{-}Oxo\text{-}17\beta\text{-}hydroxy\text{-}2,3\text{-}seco\text{-}3,4\text{-}bisnor\text{-}androstan\text{-}2\text{-}s\"{a}ure$. Eine Lösung von 500 mg 17 β -Acetoxy- Δ^4 -2, 3-seco-androsten-2, 3-dis\"{a}ure-dimethylester in 50 ml Essigester wurde 15 Min. bei -80° ozonisiert. Nach dem Einengen der Lösung im Vakuum auf das halbe Volumen wurden 100 ml Wasser zugegeben und das Gemisch 2 Std. zum Sieden erhitzt. Die Aufarbeitung lieferte 371 mg eines neutralen Öls, das an der 30fachen Menge neutralem Al_2O_3 (Akt. III) chromatographiert wurde. Mit Petroläther-Benzol-(2:1)-Gemisch und Benzol erhielt man 159 mg öligen $5\text{-}Oxo\text{-}17\beta\text{-}acetoxy\text{-}2,3\text{-}seco\text{-}3,4\text{-}bisnor\text{-}androstan\text{-}2\text{-}s\"{a}ure\text{-}methylester}$ [IR.-Spektrum: $v_{max}=1725$ (breit), 1706 (Schulter), 1260 cm⁻¹ (CHCl₃)].

Das ölige Produkt (114 mg) wurde direkt in 4,5 ml 5-proz. methanolischer KOH-Lösung 2 Std. in der Siedehitze verseift. Nach der Aufarbeitung erhielt man 101 mg kristalline 5-Oxo-17 β -hydroxy-2, 3-seco-3, 4-bisnor-androstan-2-säure. Smp. nach zweimaliger Kristallisation aus Aceton-Hexan: 178–179° (63 mg). [α]_D = +24° (c = 1,08 in C₂H₅OH). Lit.-Angaben ⁵⁵): Smp. 178–179°, [α]_D = +27°.

5-Oxo-17 β -acetoxy-2,3-seco-3,4-bisnor-androstan-2-säure (Lactolform). Acetylierung von 100 mg der 17 β -Hydroxy-Verbindung in je 1 ml Acetanhydrid und Pyridin bei Zimmertemperatur während 6 Std. lieferte Kristalle, Smp. 185–186° nach dreimaligem Umlösen aus Aceton-Hexan (71 mg). [α]_D = +17° (c = 0,75). pK $_{
m MCS}^*$ = 8,10, Äquivalentgewicht: ber. 336, gef. 344. IR.-Spektrum (CHCl $_{
m 3}$): v_{max} = 3600, 1777, 1725, 1259 cm $_{
m -1}$.

$$C_{19}H_{28}O_5$$
 Ber. C 67,83 H 8,39% Gef. C 67,81 H 8,43%

2-Oxo-5 ξ ,17 β -diacetoxy-3-oxa-4-nor-androstan. 76 mg 5-Oxo-17 β -acetoxy-2, 3-seco-3, 4-bisnor-androstan-2-säure wurden in 15 ml Acetanhydrid unter N₂ in der Siedehitze 2 Std. mit 60 mg wasserfreiem Natriumacetat behandelt. Die Reaktionslösung wurde darauf in Eiswasser gegossen und mit Äther extrahiert. Nach der Filtration des resultierenden Rohproduktes in Benzol-Lösung durch neutrales Al₂O₃ (Akt. III) erhielt man 81 mg Kristalle. Smp. nach zweimaliger Kristallisation aus Aceton-Hexan: 186–187° (47 mg). IR.-Spektrum (CHCl₃): $v_{max} = 1792$, 1751, 1725,

⁵³⁾ F. L. Weisenborn, D. C. Remy & T. L. Jacobs, J. Amer. chem. Soc. 76, 552 (1954).

⁵⁴) F. L. Weisenborn & H. E. Applegate, J. Amer. chem. Soc. 81, 1960 (1959).

1258, 1238, 1183, 1155, 1130 cm⁻¹. NMR.-Spektrum (8% in CDCl₃): $\delta = 0.82/s$ (3) CH₃-18; 1,18/s (3) CH₃-19; 2,06/s (6) 5- und 17-OCOCH₃; 2,49/breites s (2) CH₂-1; ca. 4,6/b (1) CH-17.

2-Oxo-17β-acetoxy- Δ^5 -3-oxa-4-nor-androsten (O-Acetyl-enol-y-lacton 40). 33 mg 2-Oxo-5β,17β-diacetoxy-3-oxa-4-nor-androstan wurden dreimal hintereinander bei 220° im Hochvakuum pyrolysiert. Das Sublimat stellte nach Dünnschichtchromatogramm [Fliessmittel: Hexan-Aceton-(3:1)] ein binäres Gemisch dar, das durch Chromatographie an der 30fachen Menge neutralem Al_2O_3 (Akt. III) mit Petroläther-Benzol-(1:1)-Gemisch in 8 mg reines O-Acetyl-enol-y-lacton 40 und mit Benzol-Äther-(19:1)-Gemisch in 5 mg unverändertes Ausgangsmaterial getrennt werden konnte. Smp. der Verbindung 40: 124–125°. IR.-Spektrum (CHCl₃): $v_{max} = 1803$, 1726, 1710, 1258 cm⁻¹. Literatur-Werte²⁷): Smp. 108° und 123–125°, $[\alpha]_D = -76^\circ$.

Das IR.-Spektrum von 40 ist nicht deckungsgleich mit demjenigen des O-Acetyl-enol-y-lacton 39, und die Mischprobe der beiden Präparate ergab eine Depression von ca. 30°.

Die C-Methyl-Bestimmungen wurden im mikroanalytischen Laboratorium der CIBA AKTIEN-GESELLSCHAFT (Leitung Dr. H. GYSEL) und die übrigen Analysen im mikroanalytischen Laboratorium der ETH (Leitung W. Manser) ausgeführt. Frl. Dr. D. Meuche und die Herren A. Walser und Chr. Chylewski besorgten die Aufnahme der NMR.-Spektren, Fr. V. Klopfstein und Herr R. Dohner die Aufnahme der IR.-Spektren. Die pKmcs-Bestimmungen und Diskussion der Resultate verdanken wir Herrn PD Dr. W. Simon. Frl. A. Teilheimer und die Herren W. Graf und H. Markwalder sorgten für die Wiederholung zahlreicher Experimente.

SUMMARY

UV.-irradiation of O-acetyl-1-dehydro-testosterone in dioxane solution yields a mixture of photo-isomers from which four phenolic and five ketonic components have been isolated. Two of the phenols have been identified as the known 17-O-acetyl-1-methyl-estradiol and 1-hydroxy-17 β -acetoxy-4-methyl- $\Delta^{1;3;5,10}$ -estratriene. The constitutions of the two remaining phenols and of four of the ketones have been elucidated.

Preliminary work on the photochemical relationships among these eight photoisomers and their precursors is presented and discussed.

Organisch-chemisches Laboratorium der Eidg. Technischen Hochschule, Zürich

272. Organische Phosphorverbindungen VI. Neue Darstellungsmethoden für Tetraalkyl-diphosphin-monosulfide¹) von Ludwig Maier

(26, IX. 62)

Wir berichteten kürzlich über die Darstellung von Tetraalkyl-diphosphin-monosulfiden durch Reduktion von Tetraalkyl-diphosphin-disulfiden mit einem Äquivalent Tributylphosphin²):

$$R_2P(S) - (S)PR_2 + (C_4H_9)_3P \longrightarrow R_2P - (S)PR_2 + (C_4H_9)_3PS.$$
 (1)

Inzwischen wurden zwei weitere Darstellungsmethoden für diese Verbindungsklasse gefunden, die hier mitgeteilt werden sollen.

¹⁾ V. Mitteilung: L. MAIER, J. inorg. nucl. Chemistry, im Druck.

²⁾ L. MAIER, J. inorg. nucl. Chemistry 24, 275 (1962).